

Vysoká škola: strojní a textilní v Liberci

Katedra: mechaniky, pružnosti a pevnosti

Fakulta: strojní

Školní rok: 1967 - 68

DIPLOMNÍ ÚKOL

pro Františka Opletala

odbor 04-1-04 Stavba výrobních strojů a zařízení

Protože jste splnil požadavky učebního plánu, zadává Vám vedoucí katedry ve smyslu směrnic ministerstva školství a kultury o státních závěrečných zkouškách tento diplomní úkol:

Název tématu: Napjatost přírubových spojů hranatých skříní a nádob

Pokyny pro vypracování:

Navrhněte konstrukci svařovaného modelu přírubového spoje skříně či nádoby s rovnými obdélníkovými stěnami a provedte pro navržené rozbory pevnostní výpočet. Okrajové podmínky přitom zjednodušte vhodným způsobem tak, aby výpočet bylo možno provést elementárními prostředky. Přibližnost výpočtu pak zhodnotte tensometrickým měřením na vyrobeném modelu.

Autorské právo se řídí směrnicemi MŠK pro státní závěrečné zkoušky č. j. 31 / 7 62-III/2 ze dne 13. července 1962-Vestník MŠK XVIII, seč. 24 ze dne 31. 8. 1962 § 19 autorského zákona č. 115/53 Sb.

S.

VYSOKÁ ŠKOLA STROJNÍ A TEXTILNÍ
Ústřední knihovna
LIBEREC 1, ŠTĚBENTSKÁ 5

V/54/1968

Rozsah grafických laboratorních prací: omezte se na výzkum napjatosti v nejvíce namáhaných místech

Rozsah průvodní zprávy:
přibližně 30 stran textu

Seznam odborné literatury:

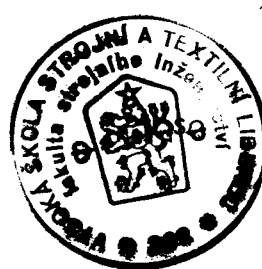
Timošenko, Š. - Woinowsky - Krieger : Plastinki i oboločki. Moskva 1966.

Vedoucí diplomní práce: Prof. Ing. Cyril Höschl

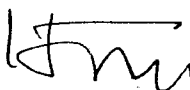
Konzultanti: Ing. Josef Mevald

Datum zahájení diplomní práce: 3. 10. 1967

Datum odevzdání diplomní práce: 17. 6. 1968




vedoucí katedry


děkan

v Liberci

dne 15. 12.

1967

N A P J A T O S T P R I R U B O V Y C H S P O J U
H R A N A T Y C H S K R I N I A N Á D O B

Vedoucí diplomní práce:

Prof. Ing. Cyril Höschl

Konsultant :

Ing. Josef Nevald

Vypracoval :

František Opletal

O b s a h

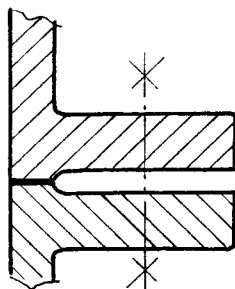
	str.
Zadání	2
Obsah	3
1.Úvod	4
2.Teoretická část	5
2.1.Podmínky a předpoklady teoretického řešení	6
2.2.Určení průhybové plochy stěny skříně	8
2.3.Určení staticky neurčitých momentů M_x/y ..	11
2.4 Určení staticky neurčitého spojité rozloženého momentu f/x	16
2.5.Přehled výsledných vztahů	20
2.6.Numerický výpočet průběhu napětí na společné hraně stěny i příruby	22
3.Experimentální část	26
3.1.Popis modelu	27
3.2.Popis měření	29
3.3.Určení závislosti napětí ve stěně na zatěžovací síle	31
3.4.Určení průběhu napětí při zatěžování příruby silou působící postupně v místech A,B,C	34
4.Zhodnocení	40
5.Závěr	42
Seznam literatury.....	43

1. Úvod

Současný stav vývoje techniky je charakterisován vyso-kým stupněm využití materiálu, tedy malou váhou na jednotku výkonu stroje. To zvyšuje požadavky na teoretickou úroveň pevnostních výpočtů a co nejúčelnějšího tvarování jednotlivých součástí jak z hlediska technologického, tak z hlediska pevnostního.

Prizmatické skříně s přírubou se velmi často vyskytují v běžné technické praxi. Jsou to skříně různých převodovek, klikové skříně ap. U takových skříní dosahuje napětí ve stěně vzniklé utažením spojovacích šroubů příruby mnohonásobně vyšších hodnot než bývají napětí provozní.

U prizmatických skříní existuje několik základních variant provedení přírubového spoje. Pro výpočet a měření jsem proto vybral ten typ, u kterého předpokládám největší hodnoty ohybového napětí ve stěně :



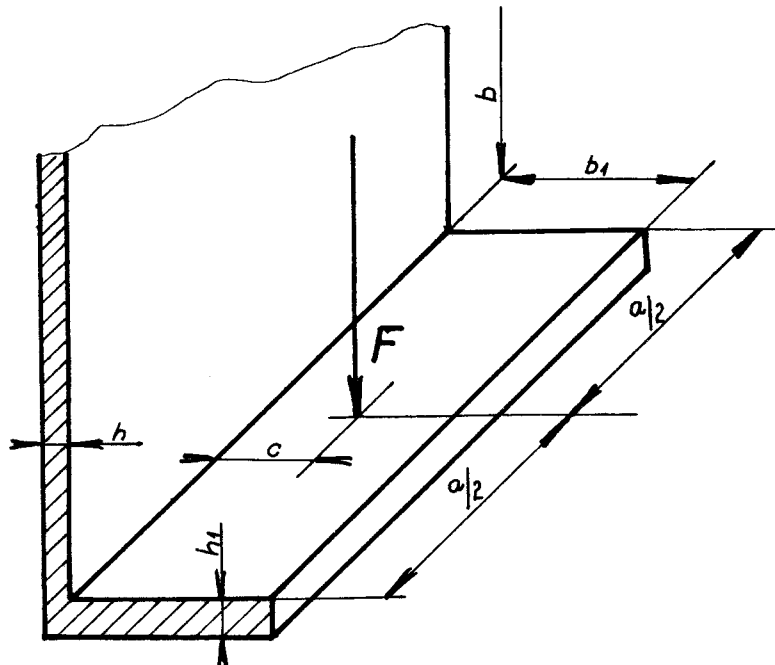
Úkolem mé diplomové práce je určit výpočtem velikost a průběhy napětí v nejnamáhanějších částech skříně a na základě experimentu posoudit přiblížnost výpočtu.

VŠST Liberec	Napjatost přírubových spojů hranatých skříní a nádob	Katedra KMP
Fakulta strojní	DP	5

2. TEORETICKÁ ČASŤ

2.1. Podmínky a předpoklady teoretického řešení.

Prizmatická skříň bývá vyztužována žebry, případně přepážkami, které rozdělují stěnu skříně na úseky. Každý takový úsek je možno považovat za tenkou desku, vteknutou po třech stranách. Čtvrtá, společná hrana pro přírubu i stěnu je podepřena kloubově. Vteknutá část skříně je znázorněna na obr. 1.



Obr. 1

Při utažení šroubů se příruba deformuje. Podél společné hrany bude deformace stěny i příruby stejná. Důsledkem toho je, že příruba působí na stěnu skříně spojitě rozloženým momentem $f/x/y$ a naopak.

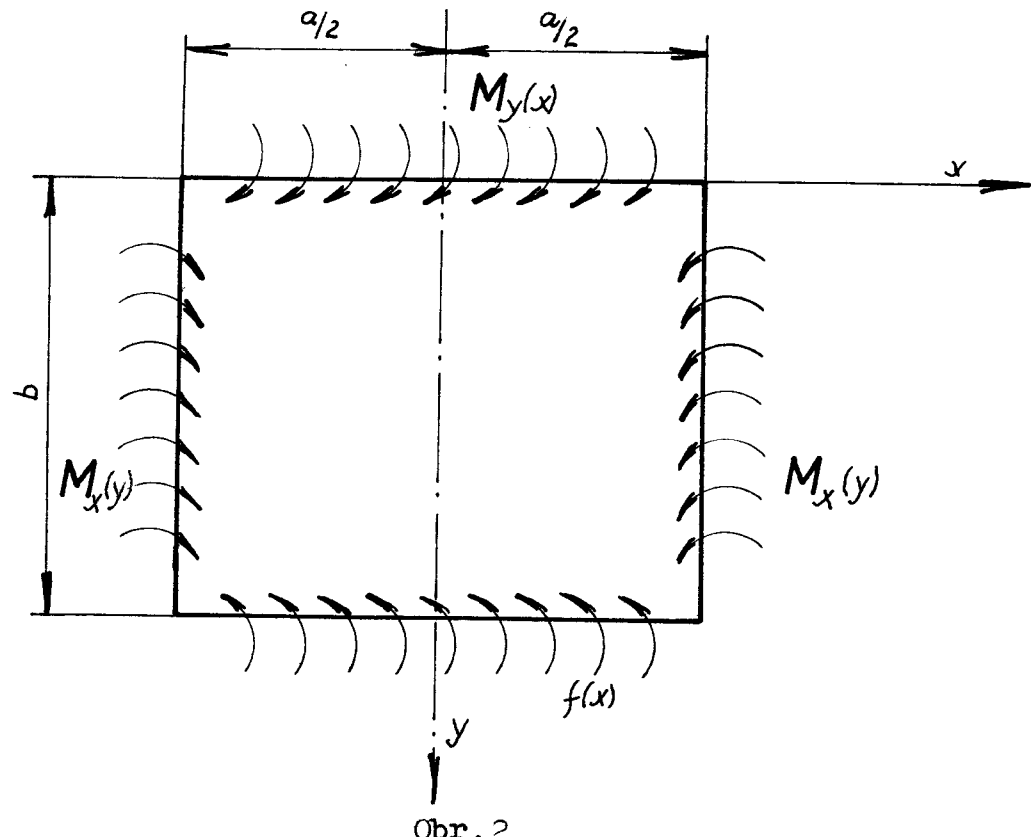
Způsob uvolnění desky a zavedení staticky neurčitých veličin, spojitě rozložených momentů M_x/y a M_y/x a $f/x/y$ je znázorněn na obr. 2.

Při výpočtu předpokládám :

1. platnost Hookeova zákona

2. deformace desky je velmi malá

3. průřez příruby při deformaci nemění svůj tvar, nýbrž se pouze pootáčí



Řešení této úlohy spočívá v určení staticky neurčitého momentu f/x . Při tom je nutno vyjít z deformace desky. Ta je popsána diferenciální rovnicí:

$$\frac{\partial^4 w}{\partial x^4} + 2 \frac{\partial^4 w}{\partial x^2 \partial y^2} + \frac{\partial^4 w}{\partial y^4} = 0$$

/ 1 /

Průhyb desky je lineární funkcií síly F . Proto mohu užít superposice a celkový průhyb w rozdělit na tři složky.

$$w = w_1 + w_2 + w_3$$

w_1 .. je průhyb desky způsobený momentem f/x

w_2 .. " "

$M_x/y/$

w_3 .. " "

$M_y/x/$

Řešení rovnice /1/ předpokládám ve tvaru řady:

$$w = \sum_{m=1,3,5}^{\infty} Y_m \cos \frac{m\pi}{a} x$$

/ 2 /

Dosazením příslušných derivací vztahu /2/ do diferenciální rovnice /1/ vznikne homogenní lineární diferenciální rovnice čtvrtého řádu pro funkci Y_m :

$$Y_m'' - 2 \frac{m^2 \pi^2}{a^2} Y_m'' + \frac{m^4 \pi^4}{a^4} Y_m = 0$$

Jejím řešením vyjde funkce Y_m ve tvaru:

$$Y_m = A_m sh \frac{m\pi}{a} y + B_m ch \frac{m\pi}{a} y + C_m \frac{m\pi}{a} y sh \frac{m\pi}{a} y + D_m \frac{m\pi}{a} y ch \frac{m\pi}{a} y$$

2.2. Určení průhybové plochy stěny skříně

2.2.1. Určení průhybové plochy w_1

w_1 je průhybová plocha desky kloubově podepřené, zatižené spojitě rozloženým momentem $f(x)$ na hraně $y = b$. Řešení bude mít tvar řady:

$$w_1 = \sum_{m=1,3,5}^{\infty} Y_m \cos \frac{m\pi}{a} x$$

$$Y_m = A_m sh \frac{m\pi}{a} y + B_m ch \frac{m\pi}{a} y + C_m \frac{m\pi}{a} y sh \frac{m\pi}{a} y + D_m \frac{m\pi}{a} y ch \frac{m\pi}{a} y$$

Konstanty A_m, B_m, C_m, D_m určíme z okrajových podmínek:

$$w = 0 \quad \frac{\partial^2 w}{\partial x^2} = 0 \quad \text{pro } x = \pm \frac{a}{2}$$

$$w = 0 \quad \frac{\partial^2 w}{\partial y^2} = 0 \quad \text{pro } y = 0$$

$$w = 0 \quad -D \frac{\partial^2 w}{\partial y^2} = f(x) \quad \text{pro } y = b$$

kde D je ohybová tuhost desky

Pro $x = \pm a/2$ je okrajová podmínka splněna identicky. K určení koeficientů A_m, B_m, C_m, D_m je nutno moment $f(x)$ rozvinout ve Fourierovu řadu.

$$f(x) = \sum_{m=1,3,5}^{\infty} (-1)^{\frac{m-1}{2}} E_m \cos \frac{m\pi}{a} x$$

/ 3 /

Z okrajových podmínek pro $y = 0, y = b$ vyplynou koeficienty: $B_m = C_m = 0$

$$D_m = -(-1)^{\frac{m-1}{2}} \left(\frac{a}{m\pi} \right)^2 \frac{E_m}{2D \sinh \alpha_m}$$

$$A_m = (-1)^{\frac{m-1}{2}} \left(\frac{a}{m\pi} \right)^2 \frac{E_m \alpha_m \coth \alpha_m}{2D \sinh \alpha_m}$$

kde $\alpha_m = \frac{m\pi b}{a}$

Dosazením konstant A_m a D_m do /2/ :

$$w_1 = \frac{a^2}{2\pi D} \sum_{m=1,3,5}^{\infty} (-1)^{\frac{m-1}{2}} \frac{E_m}{m^2 \sinh \alpha_m} \left(\alpha_m \coth \alpha_m \sinh \frac{m\pi}{a} y - \frac{m\pi}{a} \cosh \frac{m\pi}{a} y \right) \cos \frac{m\pi}{a} x$$

/ 4 /

2.2.2. Určení průhybové plochy w_2

Rovnice /1/ bude mít řešení ve tvaru řady :

$$w_2 = \sum_{n=1,2,3}^{\infty} X_n \sin \frac{n\pi}{b} y$$

/ 5 /

kde

$$X_n = A_n \sinh \frac{n\pi}{b} x + B_n \cosh \frac{n\pi}{b} x + C_n \frac{n\pi}{b} x \sinh \frac{n\pi}{b} x + D_n \frac{n\pi}{b} x \cosh \frac{n\pi}{b} x$$

Protože w_2 je průhybová plocha desky kloubově podepřené po obvodě a zatižené spojitě rozloženým momentem $M_x(y)$ na stranách $x = a/2$ a $x = -a/2$ budou okrajové podmínky:

$$w_2 = 0 \quad \frac{\partial^2 w_2}{\partial y^2} = 0 \quad \text{pro } y = 0, y = b$$

$$w_2 = 0 \quad -D \frac{\partial^2 w_2}{\partial x^2} = M_x(y) \quad \text{pro } x = \frac{a}{2}$$

$$w_2 = 0 \quad -D \frac{\partial^2 w_2}{\partial x^2} = M_x(y) \quad \text{pro } x = -\frac{a}{2}$$

Pro $y = 0, y = b$ jsou okrajové podmínky splněny identicky.
Moment $M_x(y)$ rozvedu v řadu:

$$M_x(y) = \sum_{n=1,2,3}^{\infty} \bar{M}_{x_n} \sin \frac{n\pi}{b} y$$

/ 6 /

Dosazením /5/ a /6/ do okrajových podmínek pro $x = a/2$
a $x = -a/2$ vyplynou koeficienty A_n, B_n, C_n, D_n :

$$A_n = D_n = 0$$

$$C_n = \frac{(\alpha)^2}{n\pi} \frac{\bar{M}_{x_n}}{2Dch\beta_n} \quad B_n = \frac{(\beta)^2}{n\pi} \frac{\bar{M}_{x_n}}{2Dch\beta_n} \beta_n th\beta_n$$

kde

$$\beta_n = \frac{n\pi}{2b} a$$

Dosazením C_n a B_n do /5/ dostanu vztah pro průhyb w_2 desky:

$$w_2 = \frac{b^2}{2\pi^2 D} \sum_{n=1,2,3}^{\infty} \frac{\bar{M}_{x_n}}{n^2} \frac{\sin \frac{n\pi}{b} y}{ch \beta_n} \left(\beta_n th \beta_n ch \frac{n\pi}{b} x - \frac{n\pi}{b} x sh \frac{n\pi}{b} x \right) \quad /7/$$

2.2.3. Určení průhybové plochy w_3

Průhybovou plochu w_3 předpokládám ve tvaru řady :

$$w_3 = \sum_{m=1,3,5}^{\infty} Y_m \cos \frac{m\pi}{a} x$$

kde

$$Y_m = A_m sh \frac{m\pi}{a} y + B_m ch \frac{m\pi}{a} y + C_m \frac{m\pi}{a} y sh \frac{m\pi}{a} y + D_m \frac{m\pi}{a} y ch \frac{m\pi}{a} y$$

Průhybová plocha w_3 vznikne zatížením desky, kloubově uložené po obvodě, spojitě rozloženým momentem $M_y/x/$ po hraně $y = 0$.
Proto budou platit okrajové podmínky :

$$w_3 = 0 \quad \frac{\partial^2 w_3}{\partial x^2} = 0 \quad \text{pro } x = \pm \frac{a}{2}$$

$$w_3 = 0 \quad -D \frac{\partial^2 w_3}{\partial y^2} = M_y(x) \quad \text{pro } y = 0; \quad w_3 = 0; \quad \frac{\partial^2 w_3}{\partial y^2} = 0 \quad \text{pro } y = b$$

Moment $M_y/x/$ rozvinu v řadu :

$$M_y(x) = \sum_{m=1,3,5}^{\infty} (-1)^{\frac{m-1}{2}} \bar{M}_{y_m} \cos \frac{m\pi}{a} x$$

Pro $x = a/2$ a $x = -a/2$ jsou okrajové podmínky splněny.
Do okrajových podmínek pro $y = b$ a $y = 0$ dosadím rovnice /7/ a /2/. Tím získám konstanty rovnice /2/ :

$$A_m = \frac{(-1)^{\frac{m-1}{2}}}{2D} \left(\frac{a}{mm}\right)^2 M_{ym} (1 - \coth^2 \alpha_m) \alpha_m \quad B_m = 0$$

$$C_m = -(-1)^{\frac{m-1}{2}} \bar{M}_{ym} \left(\frac{a}{mm}\right)^2 \frac{1}{2D} \quad D_m = \frac{(-1)^{\frac{m-1}{2}}}{2D} \left(\frac{a}{mm}\right)^2 M_{ym} \coth \alpha_m$$

Dosazením konstant C_m, A_m, D_m do rovnice /2/ průhybové plochy je :

$$w_3 = \frac{a^2}{2\pi^2 D} \sum_{m=1,3,5}^{\infty} (-1)^{\frac{m-1}{2}} \frac{M_{ym}}{m^2} \cos \frac{m\pi}{a} x \left[\alpha_m (1 - \coth^2 \alpha_m) \operatorname{sh} \frac{m\pi}{a} y + \frac{m\pi}{a} y \left(\coth \alpha_m \operatorname{ch} \frac{m\pi}{a} y - \operatorname{sh} \frac{m\pi}{a} y \right) \right] \quad /9/$$

2.3. Určení staticky neurčitých momentů $M_x/y/$ a $M_y/x/$

Přídavné momenty $M_x/y/$ a $M_y/x/$ se určí z deformační podmínky na hranách $y = 0$ a $x = \pm a/2$

Deformační podmínky :

$$\left[\frac{\partial w}{\partial x} \right]_{x=\pm \frac{a}{2}} = \left[\frac{\partial w_1}{\partial x} + \frac{\partial w_2}{\partial x} + \frac{\partial w_3}{\partial x} \right]_{x=\pm \frac{a}{2}} = 0 \quad /10/$$

$$\left[\frac{\partial w}{\partial y} \right]_{y=0} = \left[\frac{\partial w_1^*}{\partial y} + \frac{\partial w_2}{\partial y} + \frac{\partial w_3}{\partial y} \right]_{y=0} = 0 \quad /11/$$

Derivaci w_1, w_2, w_3 podle x a dosazením $x = a/2$ dostanu:

$$\left[\frac{\partial w_1}{\partial x} \right]_{x=\frac{a}{2}} = \frac{a}{2\pi D} \sum_{m=1,3,5}^{\infty} \frac{E_m}{m \operatorname{sh} \alpha_m} \left(\alpha_m \coth \alpha_m \operatorname{sh} \frac{m\pi}{a} y - \frac{m\pi}{a} y \operatorname{ch} \frac{m\pi}{a} y \right) \quad (12)$$

$$\left[\frac{\partial w_2}{\partial x} \right]_{x=\frac{a}{2}} = \frac{b}{2\pi D} \sum_{n=1,2,3}^{\infty} \frac{\bar{M}_x}{n} \left[\operatorname{th} \beta_n (\beta_n + \operatorname{th} \beta_n - 1) - \beta_n \right] \sin \frac{n\pi}{a} y \quad (13)$$

$$\left[\frac{\partial w_3}{\partial x} \right]_{x=\frac{a}{2}} = -\frac{a}{2\pi D} \sum_{m=1,3,5}^{\infty} \frac{M_{ym}}{m} \left[\alpha_m (1 - \operatorname{cth}^2 \alpha_m) \operatorname{sh} \frac{m\pi}{a} y + \frac{m\pi}{a} y \left(\operatorname{cth} \alpha_m \operatorname{ch} \frac{m\pi}{a} y - \operatorname{sh} \frac{m\pi}{a} y \right) \right] \quad (14)$$

Aby bylo možno z rovnice /10/ vypočítat koeficienty \overline{M}_{ym} a \overline{M}_{xn} je nutno rovnice /12/a /14/ rozvést v sinovou Fourierovu řadu. V rovnici /12/ rozvinu v sinovou řadu výraz

$$\alpha_m \operatorname{cth} \alpha_m \operatorname{sh} \frac{m\pi}{a} y - \frac{m\pi}{a} y \operatorname{ch} \frac{m\pi}{a} y$$

Řada bude mít tvar :

$$\sum_{i=1,2,3}^{\infty} A_i \sin \frac{i\pi}{b} y$$

kde konstanta A_i je dána integrálem

$$A_i = \frac{1}{b} \int_{-b}^b \left(\alpha_m \operatorname{cth} \alpha_m \operatorname{sh} \frac{m\pi}{a} y - \frac{m\pi}{a} y \operatorname{ch} \frac{m\pi}{a} y \right) \sin \frac{i\pi}{b} y dy$$

Rešením tohoto integrálu vyjde koeficient Fourierovy řady:

$$A_i = - \frac{(-1)^i}{\left(\frac{b^2}{a^2} + \frac{i^2}{m^2} \right)^2} \frac{4ib^2}{m^2 \pi^2 a^2} \operatorname{sh} \alpha_m$$

Dosazením rozvoje do rovnice /12/ obdržím:

$$\left[\frac{\partial w_3}{\partial x} \right]_{x=\frac{a}{2}} = \frac{2b^2}{a\pi^2 D} \sum_{m=1,3,5}^{\infty} \frac{E_m}{m^3} \sum_{i=1,2,3}^{\infty} \frac{i(-1)^i}{\left(\frac{b^2}{a^2} + \frac{i^2}{m^2} \right)^2} \sin \frac{i\pi}{b} y \quad / 15 /$$

Obdobným způsobem rozvinu v sinovou řadu výraz z rovnice /14/

$$\alpha_m (1 - \operatorname{cth}^2 \alpha_m) \operatorname{sh} \frac{m\pi}{a} y + \frac{m\pi}{a} y \left(\operatorname{cth} \alpha_m \operatorname{ch} \frac{m\pi}{a} y - \operatorname{sh} \frac{m\pi}{a} y \right)$$

Rada bude mít tvar :

$$\sum_{i=1,2,3}^{\infty} B_i \sin \frac{i\pi}{b} y$$

$$\text{kde } B_i = \frac{1}{b} \int_{-b}^b \left[\alpha_m (1 - \operatorname{cth}^2 \alpha_m) \operatorname{sh} \frac{m\pi}{a} y + \frac{m\pi}{a} y \operatorname{cth} \alpha_m \operatorname{ch} \frac{m\pi}{a} y - \frac{m\pi}{a} y \operatorname{sh} \frac{m\pi}{a} y \right] \sin \frac{i\pi}{b} y dy$$

Rešením integrálu dostanu koeficienty B_i :

$$B_i = \frac{2i}{m^2\pi} \frac{(-1)^i}{\frac{b^2}{a^2} + \frac{i^2}{m^2}} \operatorname{sh} \alpha_m \left(\frac{b^2}{a^2} \frac{2 \operatorname{cth} \alpha_m}{\frac{b^2}{a^2} + \frac{i^2}{m^2}} - \alpha_m \right)$$

Dosazením rozvoje do rovnice /14/ bude:

$$\left[\frac{\partial w_3}{\partial x} \right]_{x=\frac{a}{2}} = -\frac{2a}{\pi^2 D} \sum_{m=1,3,5}^{\infty} \frac{M_{ym}}{m} \sum_{i=1,2,3}^{\infty} \frac{i(-1)^i}{\frac{b^2}{a^2} + \frac{i^2}{m^2}} \left(\frac{b^2}{a^2} \frac{\operatorname{cth} \alpha_m}{\frac{b^2}{a^2} + \frac{i^2}{m^2}} - \frac{\alpha_m}{2} \right) \sin \frac{i\pi}{b} y \quad (16)$$

Dosazením rovnic /13/, /15/, /16/ do deformační podmínky /10/:

$$\begin{aligned} & \frac{2b^2}{a\pi^3 D} \sum_{m=1,3,5}^{\infty} \frac{E_m}{m^3} \sum_{i=1,2,3}^{\infty} \frac{i(-1)^i}{(\frac{b^2}{a^2} + \frac{i^2}{m^2})^2} \sin \frac{i\pi}{b} y + \\ & + \frac{b}{2\pi D} \sum_{n=1,2,3}^{\infty} \frac{\bar{M}_{xn}}{n} \left[\operatorname{th} \beta_n (\beta_n \operatorname{th} \beta_n - 1) - \beta_n \right] \sin \frac{n\pi}{a} y - \\ & - \frac{2a}{\pi^2 D} \sum_{m=1,3,5}^{\infty} \frac{\bar{M}_{ym}}{m^3} \sum_{i=1,2,3}^{\infty} \frac{i(-1)^i}{\frac{b^2}{a^2} + \frac{i^2}{m^2}} \left(\frac{b^2}{a^2} \frac{\operatorname{cth} \alpha_m}{\frac{b^2}{a^2} + \frac{i^2}{m^2}} - \frac{\alpha_m}{2} \right) \sin \frac{i\pi}{b} y = 0 \end{aligned}$$

Aby byla tato rovnice splněna pro každé y , musí být koeficient řady $u \sin \frac{j\pi}{b}y$ roven nule. Proto provedu záměnu pořadí sčítání členů řad. Pro indexy $1, 2, 3 \dots$ zavedu označení n , pro $1, 3, 5 \dots$ označení m . Po úpravě dostanu:

$$\frac{bn}{a\pi^2} (-1)^n \sum_{m=1,3,5}^{\infty} \frac{E_m}{m^3 \left(\frac{b^2}{a^2} + \frac{n^2}{m^2} \right)^2} + \frac{M_{xn}}{4h} \left[th\beta_n (\beta_n th\beta_n - 1) - \beta_n \right]$$

/ 17 /

$$-\frac{a}{\pi b} n (-1)^n \sum_{m=1,3,5}^{\infty} \frac{\bar{M}_{ym}}{m^3 \left(\frac{b^2}{a^2} + \frac{n^2}{m^2} \right)^2} \left(\frac{b^2}{a^2} \cdot \frac{cth \alpha_m}{\frac{b^2}{a^2} + \frac{n^2}{m^2}} - \frac{\alpha_m}{2} \right) = 0$$

Na okraji $y = 0$ desky musí být splněna deformační podmínka /11/.

$$\left[\frac{\partial w_1}{\partial y} \right]_{y=0} = \frac{a}{2\pi D} \sum_{m=1,3,5}^{\infty} (-1)^{\frac{m-1}{2}} \frac{E_m}{m sh \alpha_m} (\alpha_m cth \alpha_m - 1) \cos \frac{m\pi}{a} x \quad (18)$$

$$\left[\frac{\partial w_2}{\partial y} \right]_{y=0} = \frac{1}{4D} \sum_{n=1,2,3}^{\infty} \frac{\bar{M}_{xn}}{ch^2 \beta_n} \left(a sh \beta_n ch \frac{n\pi}{b} x - 2x ch \beta_n sh \frac{n\pi}{b} x \right) \quad (19)$$

$$\left[\frac{\partial w_3}{\partial y} \right]_{y=0} = \frac{a}{2\pi D} \sum_{m=1,3,5}^{\infty} (-1)^{\frac{m-1}{2}} \frac{\bar{M}_{ym}}{m} \cos \frac{m\pi}{a} x \left[\alpha_m (1 - cth^2 \alpha_m) + cth \alpha_m \right] \quad (20)$$

Rozvinutím výrazu

$$a sh \beta_n ch \frac{n\pi}{b} x - 2x ch \beta_n sh \frac{n\pi}{b} x$$

z rovnice /19/ v kosinovou řadu

$$\sum_{j=1,3,5}^{\infty} C_j \cos \frac{j\pi}{a} x$$

$$\text{kde } C_j = \frac{2}{a} \int_{-\frac{a}{2}}^{\frac{a}{2}} \left(a \operatorname{sh} \beta_n \operatorname{ch} \frac{n\pi}{b} x - 2x \operatorname{ch} \beta_n s \frac{n\pi}{b} x \right) \cos \frac{j\pi}{a} x dx$$

$$C_j = \frac{16ja^2(-1)^{\frac{j-1}{2}}}{n^3 \pi^2 b \left(\frac{a^2}{b^2} + \frac{j^2}{n^2} \right)^2} \operatorname{ch}^2 \beta_n$$

dostanu po dosazení do rovnice /19/:

$$\left[\frac{\partial w_2}{\partial y} \right]_{y=0} = \frac{4a^2}{\pi^2 D b} \sum_{n=1,2,3}^{\infty} \frac{\bar{M}_{x_n}}{n^3} \sum_{j=1,3,5}^{\infty} \frac{(-1)^{\frac{j-1}{2}}}{\left(\frac{a^2}{b^2} + \frac{j^2}{n^2} \right)^2} \cos \frac{j\pi}{a} x \quad / 21 /$$

Dosazením rovnic /21/, /18/ a /20/ do deformační podmínky /11/ a obdobnou úpravou jako u rovnice /17/ získám druhou soustavu rovnic pro konstanty $\bar{M}_x/y/$ a $\bar{M}_y/x/$:

$$\frac{E_m}{m s \operatorname{ch} \alpha_m} (\alpha_m \operatorname{cth} \alpha_m - 1) + \frac{\bar{M}_{y_m}}{m} [\alpha_m (1 - \operatorname{cth}^2 \alpha_m) + \operatorname{cth} \alpha_m] +$$

/ 22 /

$$+ \frac{8am}{\pi b} \sum_{n=1,2,3}^{\infty} \frac{\bar{M}_{x_n}}{n^2} \frac{1}{\left(\frac{a^2}{b^2} + \frac{m^2}{n^2} \right)^2} = 0$$

Pro koeficienty \bar{M}_{x_m} a \bar{M}_{y_m} současně platí soustava rovnic /17/ a soustava rovnic /22/.

2.4. Určení staticky neurčitého spojitě rozloženého momentu $f(x)$

Pro staticky neurčitý moment $f(x)$, spojitě rozložený podél hrany $y = b$, společné pro stěnu i přírubu, platí defor-mační podmínka

$$\gamma(x) = - \left[\frac{\partial w}{\partial y} \right]_{y=b}$$

/ 23 /

Derivace jednotlivých složek průhybové plochy:

$$\left[\frac{\partial w_1}{\partial y} \right]_{y=b} = \frac{a}{2\pi D} \sum_{m=1,3,5}^{\infty} (-1)^{\frac{m-1}{2}} \frac{E_m}{m} [(\alpha_m cth \alpha_m - 1) - \alpha_m] \cos \frac{m\pi}{a} x \quad / 24 /$$

/ 25 /

$$\left[\frac{\partial w_2}{\partial y} \right]_{y=b} = \frac{1}{4D} \sum_{n=1,2,3}^{\infty} (-1)^n \frac{\bar{M}_{x_n}}{ch^2 \beta_n} \left(a sh \beta_n ch \frac{n\pi}{a} x - 2 x ch \beta_n sh \frac{n\pi}{b} x \right)$$

/ 26 /

$$\left[\frac{\partial w_3}{\partial y} \right]_{y=b} = \frac{a}{2\pi D} \sum_{m=1,3,5}^{\infty} (-1)^{\frac{m-1}{2}} \frac{\bar{M}_{y_m}}{m} sh \alpha_m (\alpha_m cth \alpha_m - 1) (1 - cth^2 \alpha_m) \cos \frac{m\pi}{a} x$$

výraz

$$a sh \beta_n ch \frac{n\pi}{a} x - 2 x ch \beta_n sh \frac{n\pi}{b} x$$

opět rozvinu v kosinovou Fourierovu řadu :

$$ch^2 \beta_n \frac{16 \alpha^2}{\pi^2 b n^2} \sum_{j=1,3,5}^{\infty} \frac{j(-1)^{\frac{j-1}{2}}}{\left(\frac{\alpha^2}{b^2} + \frac{j^2}{n^2} \right)^2} \cos \frac{j\pi}{a} x$$

Takto rozvinutý výraz dosadím zpět do rovnice / 24 / :

$$\left[\frac{\partial w_2}{\partial y} \right]_{y=b} = \frac{4a^2}{\pi^2 b D} \sum_{n=1,2,3}^{\infty} (-1)^n \frac{\bar{M}_{xn}}{n^3} \sum_{m=1,3,5}^{\infty} \frac{m(-1)^{\frac{m-1}{2}}}{\left(\frac{a^2}{b^2} + \frac{m^2}{n^2}\right)^2} \cos \frac{m\pi}{a} x \quad (27)$$

Sečtením rovnic /24/, /26/ a /27/ bude

$$\left[\frac{\partial w}{\partial y} \right]_{y=b} = \frac{a}{2\pi D} \sum_{m=1,3,5}^{\infty} (-1)^{\frac{m-1}{2}} \left\{ \frac{E_m}{m} \left[(\alpha_m \operatorname{cth} \alpha_m - 1) \operatorname{cth} \alpha_m - \alpha_m \right] + \right. \\ \left. + \frac{\bar{M}_{ym}}{m} \operatorname{sh} \alpha_m (\alpha_m \operatorname{cth} \alpha_m - 1) (1 - \operatorname{cth}^2 \alpha_m) + \frac{8a}{\pi b} m \sum_{n=1,2,3}^{\infty} \frac{(-1)^n \bar{M}_{xn}}{n^3 \left(\frac{a^2}{b^2} + \frac{m^2}{n^2}\right)^2} \cos \frac{m\pi}{a} x \right\} \quad (28)$$

$$+ \frac{\bar{M}_{ym}}{m} \operatorname{sh} \alpha_m (\alpha_m \operatorname{cth} \alpha_m - 1) (1 - \operatorname{cth}^2 \alpha_m) + \frac{8a}{\pi b} m \sum_{n=1,2,3}^{\infty} \frac{(-1)^n \bar{M}_{xn}}{n^3 \left(\frac{a^2}{b^2} + \frac{m^2}{n^2}\right)^2} \cos \frac{m\pi}{a} x$$

Vytknutou část přiruby považuji za nosník větknutý na obou koncích, zkrucovaný spojitě rozloženým momentem f/x a osamělým krouticím momentem M_k , který vyvine spojovací šroub přiruby. Část přiruby je znázorněna na obr. 3.

Rovnice deformace přiruby:

$$\frac{d^2\psi}{dx^2} = -\frac{1}{GJ_k} [M_k(x) - f(x)] \quad / 29 /$$

kde G ... modul pružnosti materiálu přiruby / v krutu /
 J_k ... moment tuhosti průřezu přiruby

Abych mohl krouticí moment $M_k = Fc$ zanést do výpočtu, musím ho nejprve rozvinout ve Fourierovu kosinovou řadu :

$$M_k = \sum_{m=1,3,5}^{\infty} K_m \cos \frac{m\pi}{a} x$$

Proto moment M_k nahradím momentem \bar{M}_k , spojitě rozloženým v intervalu $\left< -\frac{a}{2}, \frac{a}{2} \right>$ podle definice :

$$\bar{M}_k = 0 \quad \text{pro} \quad -\frac{a}{2} \leq x < -\varepsilon \quad \varepsilon < x \leq \frac{a}{2}$$

$$\bar{M}_k = \frac{Fc}{2\varepsilon} \quad \text{pro} \quad -\varepsilon \leq x \leq \varepsilon$$

Konstanta rozvoje spojitě rozloženého krouticího momentu \bar{M}_k je dána integrálem :

$$\bar{K}_m = \frac{2}{a} \int_0^a \bar{M}_k \cos \frac{m\pi}{a} x dx = -\frac{2}{a} \int_0^\epsilon \frac{Fc}{2\epsilon} \cos \frac{m\pi}{a} x dx -$$

$$-\frac{2}{a} \int_{a-\epsilon}^a \frac{Fc}{2\epsilon} \cos \frac{m\pi}{a} x dx = \frac{Fc}{m\pi\epsilon} \left[\sin \frac{m\pi}{a} \epsilon + \sin \frac{m\pi}{a} (a-\epsilon) \right]$$

Konstanta rozvoje osamělého krouticího momentu je :

$$K_m = \lim_{\epsilon \rightarrow 0} \bar{K}_m = \lim_{\epsilon \rightarrow 0} \frac{Fc}{m\pi\epsilon} \left[\sin \frac{m\pi}{a} \epsilon + \sin \frac{m\pi}{a} (a-\epsilon) \right] = \frac{2Fc}{a}$$

Fourierův rozvoj krouticího momentu M_k tedy bude :

$$M_k = \frac{2Fc}{a} \sum_{m=1,3,5}^{\infty} \cos \frac{m\pi}{a} x$$

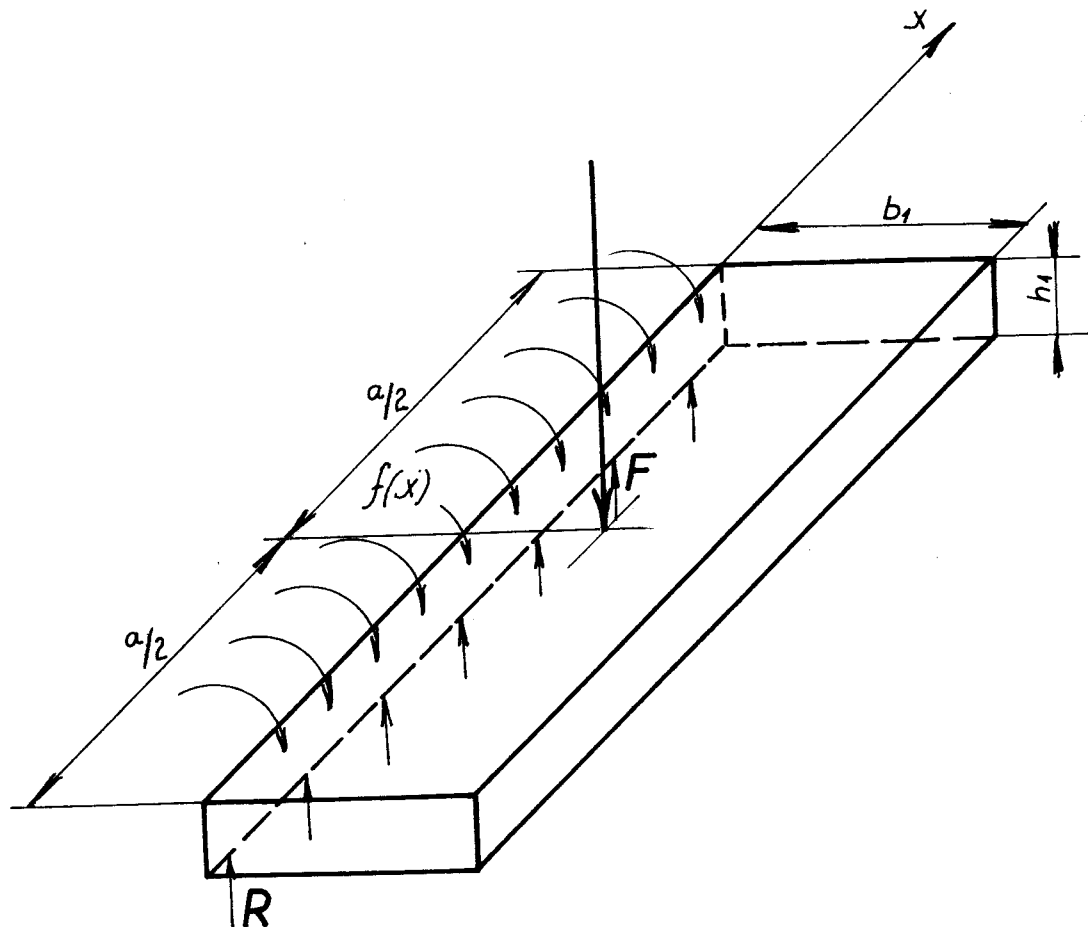
/ 30 /

Dosazením výrazů /3/ a /30/ do rovnice /29/ dostanu :

$$\frac{d^2\varphi}{dx^2} = -\frac{1}{GJ_k} \sum_{m=1,3,5}^{\infty} \left[\frac{2Fc}{a} - (-1)^{\frac{m-1}{2}} E_m \right] \cos \frac{m\pi}{a} x$$

Po dvojí integraci :

$$\varphi = -\frac{1}{GJ_k} \left\{ \sum_{m=1,3,5}^{\infty} \left[(-1)^{\frac{m-1}{2}} E_m - \frac{2Fc}{a} \right] \frac{a^2}{m^2\pi^2} \cos \frac{m\pi}{a} x + C_1 x + C_2 \right\}$$



Obr. 3

Jelikož považuji přírubu za nosník větknutý na obou koncích, budou okrajové podmínky :

$$\gamma = 0 \quad \text{pro } x = \pm \frac{a}{2}$$

Z toho vyplývá, že $C_1 = 0$, $C_2 = 0$. Deformace příruby potom tedy bude :

$$\gamma = -\frac{a^2}{\pi^2 G J_p} \sum_{m=1,3,5}^{\infty} \left[(-1)^{\frac{m-1}{2}} E_m - \frac{2Fc}{a} \right] \frac{1}{m^2} \cos \frac{m\pi}{a} x \quad (31)$$

Dosazením rovnic /31/ a /28/ do /23/ a po úpravě dostanu soustavu rovnic pro E_m :

$$E_m [(\alpha_m \operatorname{cth} \alpha_m - 1) \operatorname{cth} \alpha_m - \alpha_m] + \bar{M}_{y_m} s \operatorname{h} \alpha_m (\alpha_m \operatorname{cth} \alpha_m - 1)(1 - \operatorname{cth}^2 \alpha_m) +$$

$$+ \frac{8a}{\pi b} m \sum_{n=1,2,3}^{\infty} \frac{(-1)^n \bar{M}_{x_n}}{n^3 \left(\frac{a^2}{b^2} + \frac{m^2}{n^2} \right)^2} + \frac{2Da}{\pi G J_p} \left[(-1)^{\frac{m-1}{2}} \frac{2Fc}{a} - E_m \right] \frac{1}{m} = 0 \quad (32)$$

2.5. Přehled výsledných vztahů

Pro momenty M_x/y a M_y/x platí tato soustava rovnic:

$$\frac{bn}{a\pi^2} (-1)^n \sum_{m=1,3,5}^{\infty} \frac{E_m}{m^3 \left(\frac{b^2}{a^2} + \frac{n^2}{m^2} \right)^2} + \frac{\bar{M}_{x_n}}{4n} [\operatorname{th} \beta_n (\beta_n \operatorname{th} \beta_n - 1) - \beta_n] -$$
(17)

$$- \frac{a}{\pi b} n (-1)^n \sum_{m=1,3,5}^{\infty} \frac{\bar{M}_{y_m}}{m^3 \left(\frac{b^2}{a^2} + \frac{n^2}{m^2} \right)^2} \left(\frac{b^2}{a^2} \frac{\operatorname{cth} \alpha_m}{\frac{b^2}{a^2} + \frac{n^2}{m^2}} - \frac{\alpha_m}{2} \right) = 0$$

(22)

$$\frac{E_m}{m s \operatorname{h} \alpha_m} (\alpha_m \operatorname{cth} \alpha_m - 1) + \frac{\bar{M}_{y_m}}{m} [\alpha_m (1 - \operatorname{cth}^2 \alpha_m) + \operatorname{cth} \alpha_m] + \frac{8am}{\pi b} \sum_{n=1,2,3}^{\infty} \frac{\bar{M}_{x_n}}{n^2} \frac{1}{\left(\frac{a^2}{b^2} + \frac{m^2}{n^2} \right)^2} = 0$$

Ze soustavy rovnic /17/ a /22/ se vypočtou konstanty $\bar{M}_{x_1}, \bar{M}_{x_2}, \dots, \bar{M}_{x_n}$ a $\bar{M}_{y_1}, \bar{M}_{y_2}, \dots, \bar{M}_{y_m}$. Počty členů řad se volí podle požadované přesnosti výpočtu. Tyto kontanty se dosadí do /32/, čímž vznikne soustava m algebraických rovnic pro koeficienty E_1, E_2, \dots, E_m rozvoje funkce $f(x)$.

$$E_m [(\alpha_m \operatorname{cth} \alpha_m - 1) \operatorname{cth} \alpha_m - \alpha_m] + M_{y_m} s \alpha_m (\alpha_m \operatorname{cth} \alpha_m - 1) (1 - \operatorname{cth}^2 \alpha_m) + \\ (32)$$

$$\frac{8a}{\pi b} m \sum_{n=1,2,3}^{\infty} \frac{(-1)^n \bar{M}_{x_n}}{n^3 (\frac{a^2}{b^2} + \frac{m^2}{n^2})^2} + \frac{2Da}{\pi G J_p} \left[(-1)^{\frac{m-1}{2}} \frac{2Fc}{a} - E_m \right] \frac{1}{m} = 0$$

Tím je funkce f/x nalezena. Největší ohýbové napětí bude na společné hraně stěny skříně a příruby. Ohýbové napětí se vypočte ze vztahu:

$$\sigma_{max} = \frac{6}{h^2} f_{max} \quad / 33 /$$

kde f_{max} je maximum funkce f/x .

V přírubě vzniká napětí ohýbové a krutové. Největší ohýbové napětí v přírubě je dáno vztahem :

$$\sigma_o = \frac{E h_1 b_1}{4} \left(\frac{d^2 \varphi(x)}{dx^2} \right)_{max} \quad / 34 /$$

kde $\left(\frac{d^2 \varphi(x)}{dx^2} \right)_{max}$ je maximum druhé derivace funkce $\varphi(x)$

E je modul pružnosti v tahu materiálu příruby

Největší smykové napětí v přírubě

$$\tau = \frac{G J_t}{W_k} \left(\frac{d \varphi(x)}{dx} \right)_{max} \quad / 35 /$$

$\left(\frac{d \varphi(x)}{dx} \right)_{max}$ je maximum první derivace funkce $\varphi(x)$

G je modul pružnosti v krutu materiálu příruby

Funkce $\varphi(x)$ vyskytující se v rovnicích /35/ a /34/ je dána vztahem /31/.

V rovnicích /17/, /22/ a /32/ značí :

$$n = 1, 2, 3, \dots \infty$$

$$m = 1, 3, 5, \dots \infty$$

$$\alpha_m = \frac{mb\pi}{a}$$

$$\beta_m = \frac{na\pi}{2b}$$

D ohybová tuhost desky

$$D = \frac{Eh^3}{12(1-\mu^2)}$$

E modul pružnosti v tahu

G modul pružnosti v krutu

J_k moment tuhosti průřezu příruby v krutu

2.6. Numerický výpočet průběhu napětí na společné hraně stěny a příruby modelu

Rozměry modelu podle obr.1 jsou :

$$a = 320 \text{ mm}, b = 265 \text{ mm}, h = 7 \text{ mm}, c = 17,5 \text{ mm}, h_1 = 10 \text{ mm}, b_1 = 35 \text{ mm}$$

$$\text{moduly pružnosti materiálu} \quad E = 2,1 \cdot 10^6 \text{ kp/cm}^2 \\ G = 8 \cdot 10^5 \text{ kp/cm}^2 \\ \mu = 0,3$$

Dosazením těchto hodnot do rovnic /17/ a /22/ a pro
 $n = 1, m = 2, l = 1, m = 3$ obdržím soustavu algebraických rovnic pro konstanty $\bar{M}_{x1}, \bar{M}_{x2}, \bar{M}_{y1}, \bar{M}_{y3}$:

$$0,08434\bar{M}_{x1} + 0,16772\bar{M}_{x2} + 0,33326\bar{M}_{y3} = -0,00335E_3 \\ 1,0109\bar{M}_{x2} + 0,18939\bar{M}_{y1} + 0,07395\bar{M}_{y3} = 0,00764E_1 + 0,00486E_3 \\ 1,1274\bar{M}_{x1} + 0,20282\bar{M}_{y1} + 0,04790\bar{M}_{y3} = -0,02953E_1 - 0,00289E_3 \\ 0,50889\bar{M}_{x1} + 0,26346\bar{M}_{x2} + 1,00525\bar{M}_{y1} = -0,24332E_1$$

Rozšířená matice této soustavy tedy bude :

$$\begin{vmatrix} 0,084344 & 0,16772 & 0 & 0,33326 & 0 & -0,00335 \\ 0 & 1,01090 & 0,18939 & 0,07395 & 0,00764 & 0,00486 \\ 1,12740 & 0 & 0,20282 & 0,04790 & -0,02953 & -0,00289 \\ 0,50889 & 0,26346 & 1,00525 & 0 & -0,24332 & \end{vmatrix}$$

Soustavu rovnic řeším eliminační metodou. Matici proto upravím tak, aby byly pod hlavní diagonálou samé nuly.

$$\left| \begin{array}{cccc|cc} 0,084344 & 0,16772 & 0 & 0,33326 & 0 & -0,00335 \\ 0 & 1,01090 & 0,18939 & 0,07395 & 0,00764 & 0,00486 \\ 0 & 0 & 0,62283 & -4,24268 & -0,01258 & 0,05167 \\ 0 & 0 & 0 & 5,84695 & -0,21452 & -0,07112 \end{array} \right|$$

Zpětným chodem dospěji k řešení:

$$\bar{M}_{x1} = -0,06085 E_1 - 0,04953 E_3$$

$$\bar{M}_{x2} = 0,02407 E_1 - 0,05276 E_3$$

$$\bar{M}_{y1} = -0,27013 E_1 - 0,23027 E_3$$

$$\bar{M}_{y3} = -0,03669 E_1 - 0,02164 E_3$$

Konstanty $\bar{M}_{x1}, \bar{M}_{x2}, \bar{M}_{y1}, \bar{M}_{y3}$ dosadím do rovnice /32/. Tím dostanu soustavu dvou rovnic pro koeficienty E_1 a E_3 :

$$1,46748 E_1 - 0,08895 E_3 = 0,11506 F$$

$$0,01260 E_1 - 1,35117 E_3 = 0,03725 F$$

Vyřešením této soustavy vyjdou koeficienty Fourierova rozvoje funkce $f/x/$:

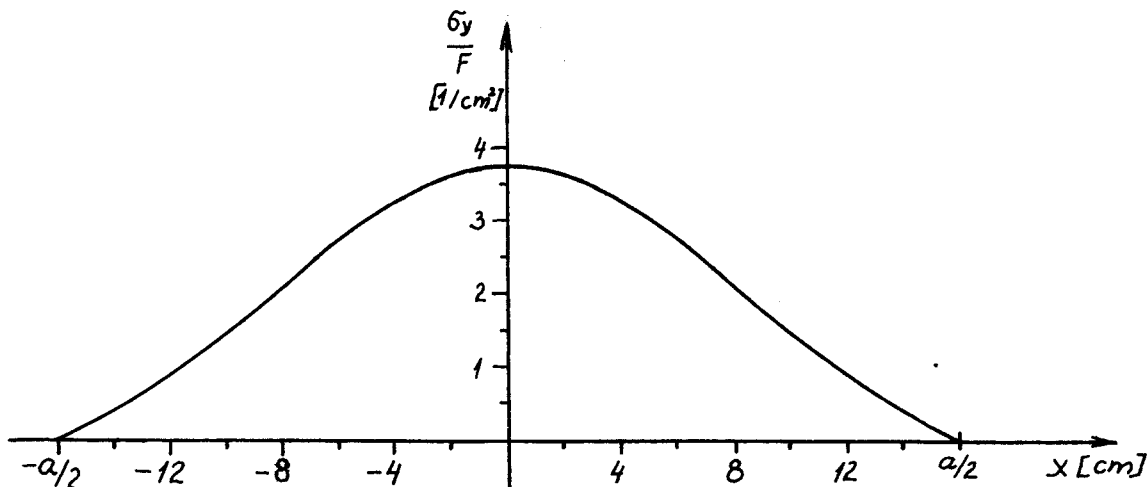
$$\begin{aligned} E_1 &= 0,28254 F \\ E_3 &= -0,02494 F \end{aligned} \quad [kp]$$

Tyto koeficienty dosadím do vztahu /3/, dostanu první dva členy rozvoje funkce $f/x/$.

$$f/x/ = / 0,28254 \cos 0,098x + 0,02494 \cos 0,294x / F$$

Dosazením funkce $f/x/$ do vzorce /33/ bude průběh napětí podél společné hrany stěny modelu a příruby:

Průběh napětí podél hrany $y = b$

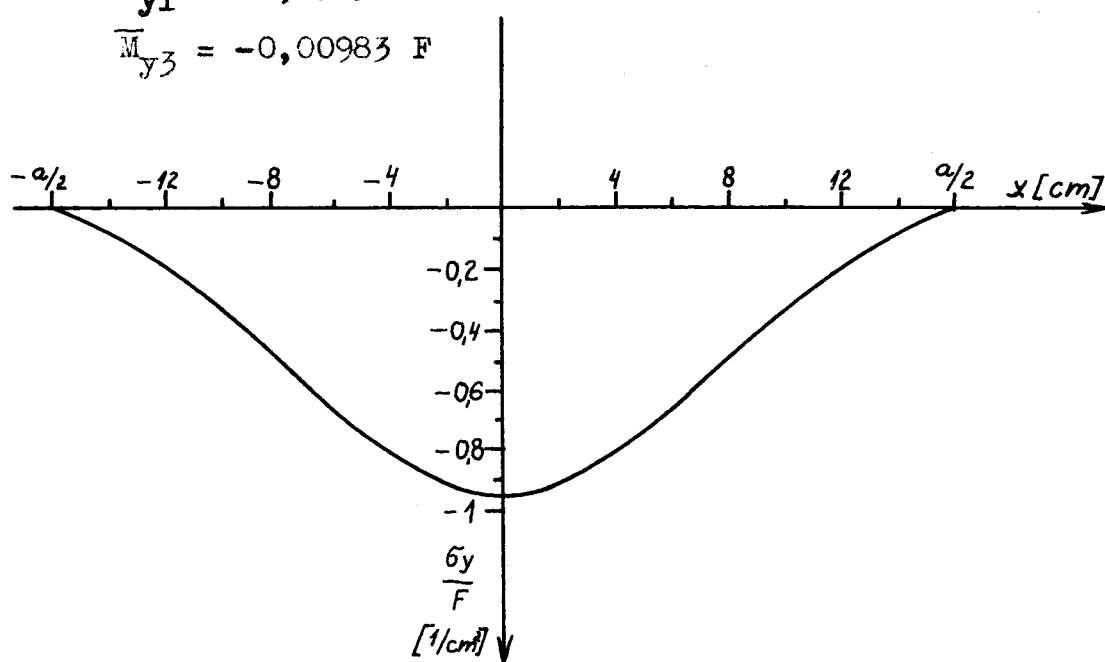


Obr. 4

Teoretický průběh napěti podél hrany $y = 0$

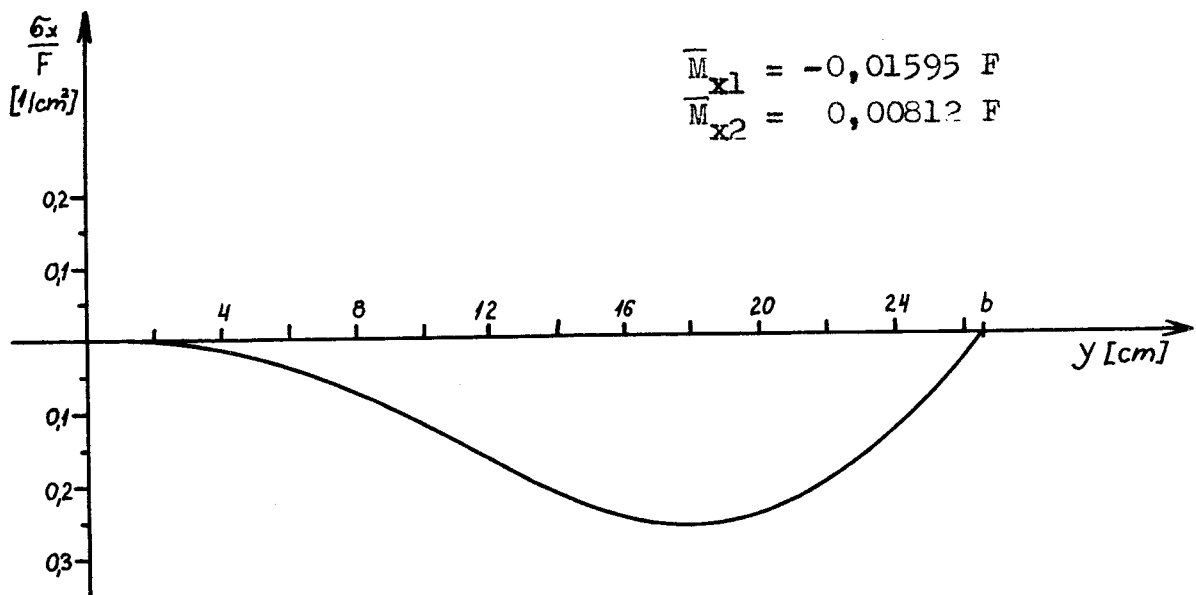
$$\overline{M}_{y1} = -0,07058 F$$

$$\overline{M}_{y3} = -0,00983 F$$



Obr. 5

Teoretický průběh napětí na hranách $x = \frac{+ a}{2}$



Obr. 6

Průběhy napětí nejsou zcela přesné, poněvadž jsou sestrojeny pouze z prvních dvou členů řad.

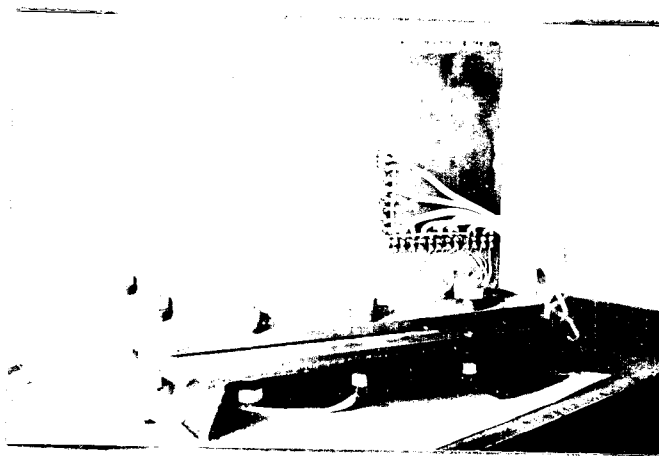
VŠST Liberec	Napjatost přírubových spojů hranatých skříní a nádob	Katedra KMP
Fakulta strojní		DP 26

3. EXPERIMENTÁLNÍ ČÁST

VŠST Liberec	Napjatost přírubových spoju hranatých skříní a nádob	Katedra KMP
Fakulta strojní	DP	27

3.1. Popis modelu

K ověření vypočteného průběhu napětí na společné hraně stěny skříně a příruby jsem navrhl model jednoduché prizmatické skříně s přírubou. Spodní část příruby slouží zároveň jako podstavec. Obě části jsou svařeny z kotlového plechu. Dosedací plocha příruby je obrobena. Spodní část modelu je vyzebrována, aby byla co nejtužší. Pohled na hotový model je na obr. 7.



Obr. 7

Potřebná zatěžovací síla se vyvíjí svorníky se závitem M 16 x 1,5. Na jejich dřících, odlehčených na ϕ 12 mm, jsou nalepeny tensometrické snímače M 120. Vývody jsou protaženy osovým otvorem a připájeny na svorkovnici. Každý svorník je označen číslem, které je na něm vyraženo, aby nemohlo dojít k jejich záměně. Provedení svorníku je vidět na obr. 8.

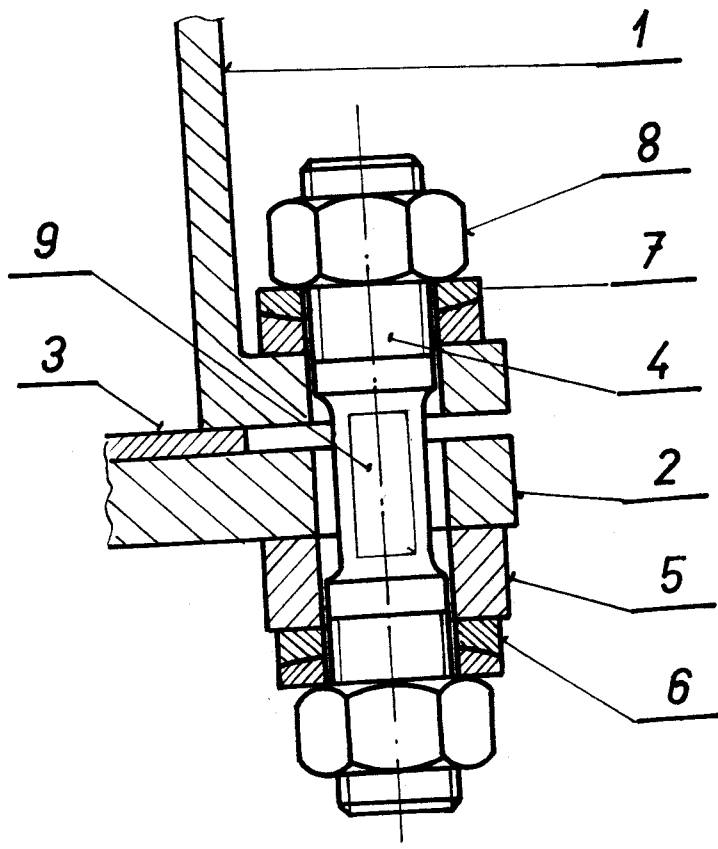
Při zatěžování se příruba deformuje. Deformace způsobí jiné rozložení tlaků pod maticí a tím vlastně posunuti výslednice F. To by mělo za následek zmenšení ramene c, čímž by se zmenšil i moment zkrucující příruba. Ve svorníku by již nepůsobila osová síla, ale byl by tedy namáhan kromě

tahu ještě přídavným ohybem. Aby se tomu předešlo, jsou pod matkami kalené a leštěné kulové podložky. Uspořádání je na- značeno na obr. 9.



Obr. 8

Celkové rozměry modelu jsou uvedeny na nákresu v přilo-
ze č.1.



Obr. 9

Na obr .9 značí :

- 1 skřín
- 2 spodní část modelu
- 3 plechová vložka
- 4 měrný svorník s nalepenými snímači
- 5 distanční podložka
- 6 kulová podložka
- 7 kulová podložka
- 8 matka
- 9 snímač

3.2. Popis měření

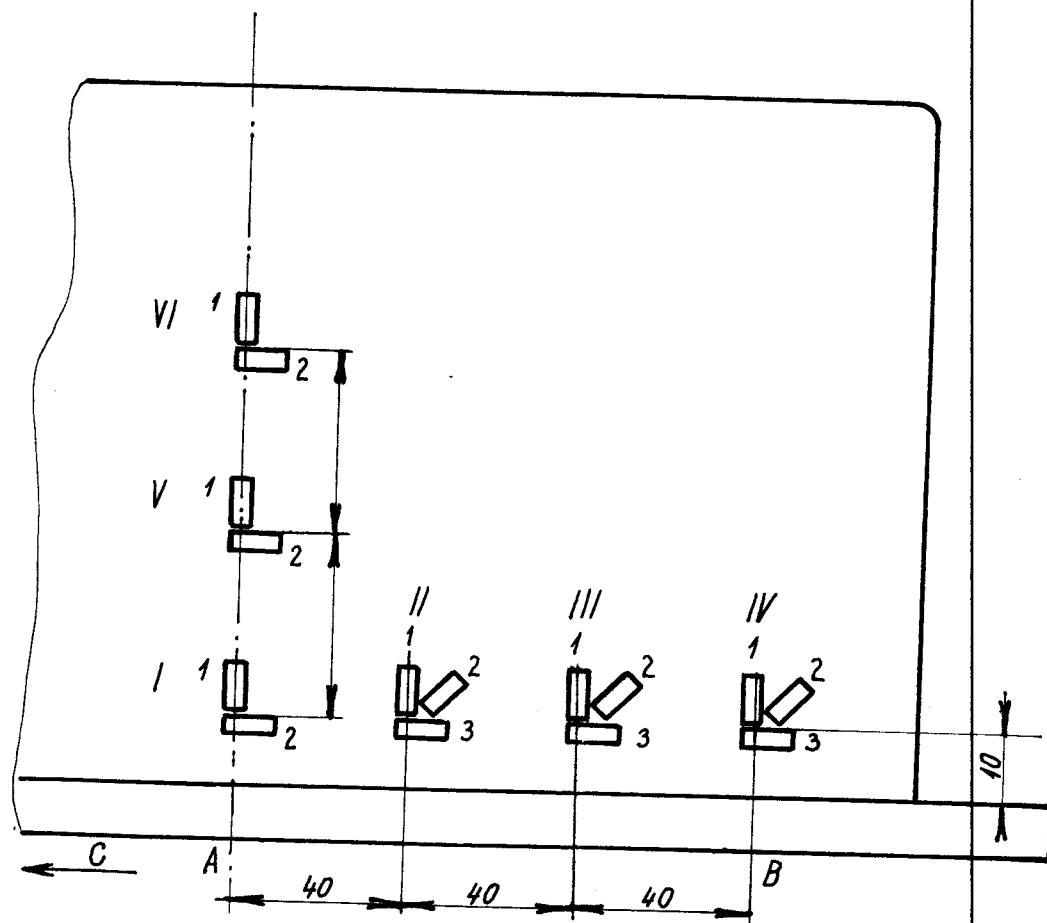
K zjištění průběhu napětí na hraně stěny skříně a příruby jsem zvolil způsob měření napětí pomocí odporových tensometrů.

Protože je problém utáhnout skupinu šroubů tak, aby každý šroub působil stejnou silou, využil jsem při zjišťování napětí v jednotlivých bodech stěny modelu principu superposice. Zatěžoval jsem postupně jednotlivá místa příruby, označená A, B, C, a změřil příslušná prodloužení ε . Výsledná napětí ve směrech x a y jsou potom dána součtem dílčích napětí σ_{xA} ; σ_{xB} ; σ_{xC} a σ_{yA} ; σ_{yB} ; σ_{yC} .

Rozmístění a označení snímačů je patrno z obr.10. Rozmístěním snímačů jsem sledoval zjištění průběhu napětí σ_y a σ_x podél společné hrany stěny a příruby modelu. Protože snímače nejsou bodové, nelze je nalepit přímo na hranu. Tím vzniká jistá chyba. Abych mohl odhadnout její velikost, rozmiřil jsem snímače také podle osy y . Z průběhu napětí podél osy y je potom možno odhadnout velikost gradientu napětí σ_y na hraně stěny. Je použito snímačů SM 120.

Při zatěžování příruby v místě A vyplývají ze souměřnosti směry hlavních napětí v bodech ležících na ose y . Proto jsou v těchto bodech nalepeny pouze dva snímače kolmé na sebe. V ostatních místech jsou lepeny do 45° tensometrické

růžice. Při zatížování příruby v místech B a C nebylo snímačů ležících na ose Y použito.

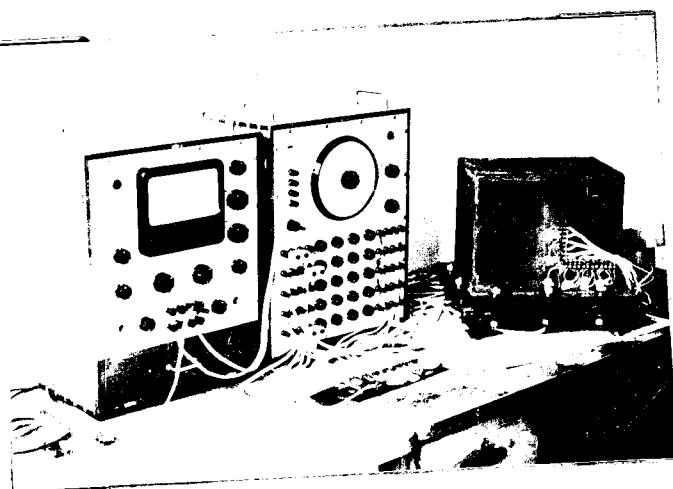


Obr. 10

Na každém svorníku jsou nalepeny tři snímače po 120° , aby se vyloučil vliv případného přídavného ohybu na údaj měřku.

Kompensační snímače byly použity téhož typu jako aktivní. Byly nalepeny na obdélníku z plechu a umístěny v blízkosti modelu. Uspořádání měření je vidět na obr. 11.

Při měření bylo použito tensometrické aparatury firmy Brüel a Kjer.



Obr.11

K určení hlavních napětí \tilde{G}_x a \tilde{G}_y , který svírá směr hlavního napětí s osou \tilde{x} , ovšem použito nomogramu z / 2 / str. 71. Kladný úhel znamená potočení směru hlavního napětí \tilde{G}_x ve směru hodinových ručiček od osy \tilde{x} .

3.3. Určení závislosti napěti ve stěně na zatěžovací síle

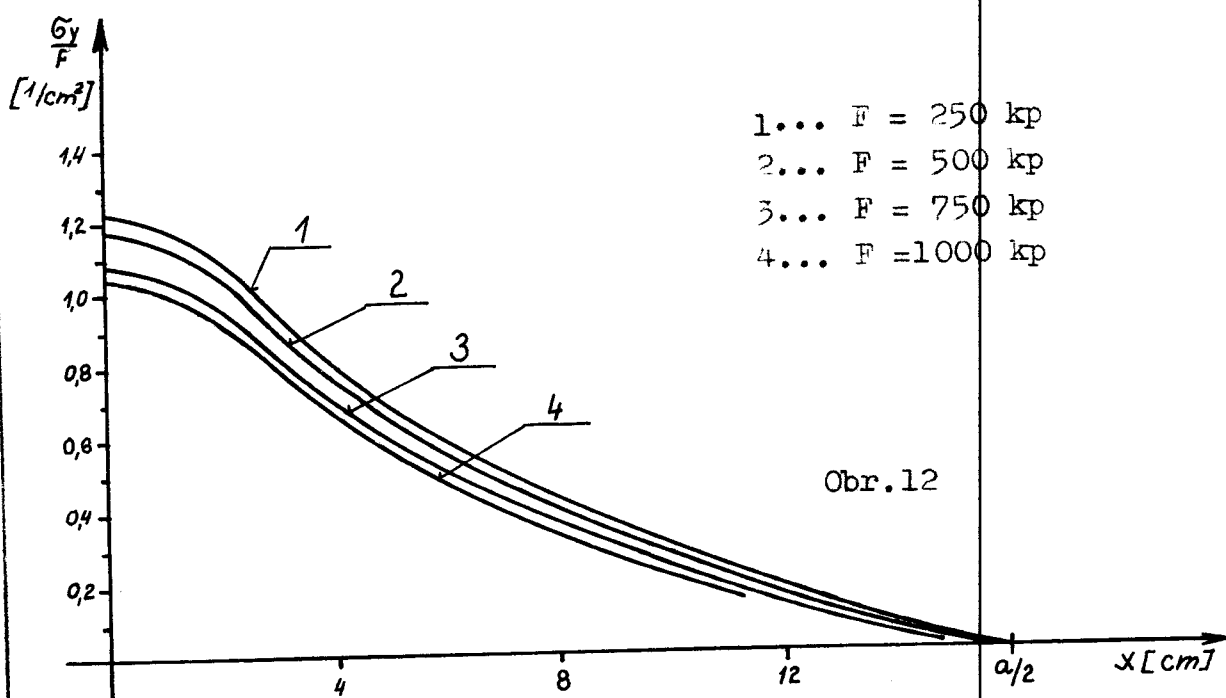
Zjištění této závislosti bylo provedeno postupným zvětšováním síly F , působící v místě A příruby. Síla byla zvětšována po skocích 250 kp. Odečtené hodnoty příslušející jednotlivým snímačům a zatížením jsou uvedeny v tab. 1.

Vypočtené hodnoty \tilde{G}_x , \tilde{G}_y , α , \tilde{G}_x , \tilde{G}_y a poměru $\frac{\tilde{G}_y}{F}$ jsou uvedeny v tabulce 2.

Tab.1: Naměřené hodnoty prodloužení pro různé zatěžovací síly

svorník měř. místo		prodloužení $\epsilon \cdot 10^6$			
		100	200	300	400
I	1	110	247	340	435
	2	11	30	41	56
II	1	82	161	220	290
	2	55	112	153	199
III	1	15	20	27	31
	2	49	96	131	171
IV	1	51	100	171	215
	2	10	19	25	29
V	1	28	52	97	120
	2	37	73	128	160
VI	1	8	14	22	28
	2	27	51	93	116
VII	1	12	32	68	90
	2	7	11	20	22
	1	11	28	56	70
	2				

Závislost σ_y na velikosti zatěžovací síly



Tab. 2 Vypočtené hodnoty $\tilde{\sigma}_I$, $\tilde{\sigma}_J$, α , $\tilde{\sigma}_x$, $\tilde{\sigma}_y$ a poměru $\frac{\tilde{\sigma}_y}{\tilde{\sigma}_x}$

	/	//	/\!/	/\!/	/\!/	V	V//	σ'/F
	σ/F	σ'/F						
$\tilde{\sigma}_I$	308	220	134	20	20,6	23,8		
$\tilde{\sigma}_J$	101	70	40	18	28	30,1		
α	0°	40,5°	24°	30°	0°	0°		
$\tilde{\sigma}_y$	308	1,23	200	0,8	0,2	0,283	23,8	0,095
$\tilde{\sigma}_x$	101	0,405	88	0,352	0,22	0,112	30,1	0,12
$\tilde{\sigma}_I$	593	394	263	171	140	44,6		
$\tilde{\sigma}_J$	231	147	79	30	10,9	22,4		
α	0°	9,5°	23,5°	32,5°	0°	0°		
$\tilde{\sigma}_y$	593	1,18	38,5	0,77	0,26	0,28°	44,6	0,09
$\tilde{\sigma}_x$	231	0,46	15,3	0,306	0,22	0,218	22,4	0,145
$\tilde{\sigma}_I$	816	533	406	300	252	85		
$\tilde{\sigma}_J$	330	200	57	106,7	222	14,3		
α	0°	8,5°	30°	30°	0°	0°		
$\tilde{\sigma}_y$	816	1,08	526	0,81	0,316	0,335	85	0,13
$\tilde{\sigma}_x$	330	0,44	206	0,274	0,158	0,296	14,3	0,19
$\tilde{\sigma}_I$	1050	840	486	347	304	90,7		
$\tilde{\sigma}_J$	431	305	25	62,5	262	161,2		
α	0°	8°	26,5°	31°	0°	0°		
$\tilde{\sigma}_y$	1050	1,05	820	0,82	0,41	0,304	90,7	0,09
$\tilde{\sigma}_x$	431	0,431	310	0,31	0,125	0,262	161,2	0,161
$\Delta \sigma/k_F$								
$\Delta \sigma/k_F$								
$\Delta \sigma/k_F$								
$\Delta \sigma/k_F$								
$\Delta \sigma/k_F$								
$\Delta \sigma/k_F$								
$\Delta \sigma/k_F$								
$\Delta \sigma/k_F$								
$\Delta \sigma/k_F$								
$\Delta \sigma/k_F$								
$\Delta \sigma/k_F$								
$\Delta \sigma/k_F$								
$\Delta \sigma/k_F$								
$\Delta \sigma/k_F$								
$\Delta \sigma/k_F$								
$\Delta \sigma/k_F$								
$\Delta \sigma/k_F$								
$\Delta \sigma/k_F$								
$\Delta \sigma/k_F$								
$\Delta \sigma/k_F$								
$\Delta \sigma/k_F$								
$\Delta \sigma/k_F$								
$\Delta \sigma/k_F$								
$\Delta \sigma/k_F$								
$\Delta \sigma/k_F$								
$\Delta \sigma/k_F$								
$\Delta \sigma/k_F$								
$\Delta \sigma/k_F$								
$\Delta \sigma/k_F$								
$\Delta \sigma/k_F$								
$\Delta \sigma/k_F$								
$\Delta \sigma/k_F$								
$\Delta \sigma/k_F$								
$\Delta \sigma/k_F$								
$\Delta \sigma/k_F$								
$\Delta \sigma/k_F$								
$\Delta \sigma/k_F$								
$\Delta \sigma/k_F$								
$\Delta \sigma/k_F$								
$\Delta \sigma/k_F$								
$\Delta \sigma/k_F$								
$\Delta \sigma/k_F$								
$\Delta \sigma/k_F$								
$\Delta \sigma/k_F$								
$\Delta \sigma/k_F$								
$\Delta \sigma/k_F$								
$\Delta \sigma/k_F$								
$\Delta \sigma/k_F$								
$\Delta \sigma/k_F$								
$\Delta \sigma/k_F$								
$\Delta \sigma/k_F$								
$\Delta \sigma/k_F$								
$\Delta \sigma/k_F$								
$\Delta \sigma/k_F$								
$\Delta \sigma/k_F$								
$\Delta \sigma/k_F$								
$\Delta \sigma/k_F$								
$\Delta \sigma/k_F$								
$\Delta \sigma/k_F$								
$\Delta \sigma/k_F$								
$\Delta \sigma/k_F$								
$\Delta \sigma/k_F$								
$\Delta \sigma/k_F$								
$\Delta \sigma/k_F$								
$\Delta \sigma/k_F$								
$\Delta \sigma/k_F$								
$\Delta \sigma/k_F$								
$\Delta \sigma/k_F$								
$\Delta \sigma/k_F$								
$\Delta \sigma/k_F$								
$\Delta \sigma/k_F$								
$\Delta \sigma/k_F$								
$\Delta \sigma/k_F$								
$\Delta \sigma/k_F$								
$\Delta \sigma/k_F$								
$\Delta \sigma/k_F$								
$\Delta \sigma/k_F$								
$\Delta \sigma/k_F$								
$\Delta \sigma/k_F$								
$\Delta \sigma/k_F$								
$\Delta \sigma/k_F$								
$\Delta \sigma/k_F$								
$\Delta \sigma/k_F$								
$\Delta \sigma/k_F$								
$\Delta \sigma/k_F$								
$\Delta \sigma/k_F$								
$\Delta \sigma/k_F$								
$\Delta \sigma/k_F$								
$\Delta \sigma/k_F$								
$\Delta \sigma/k_F$								
$\Delta \sigma/k_F$								
$\Delta \sigma/k_F$								
$\Delta \sigma/k_F$								
$\Delta \sigma/k_F$								
$\Delta \sigma/k_F$								
$\Delta \sigma/k_F$								

3.4. Určení průběhu napětí při zatěžování příruby silou,
působící postupně v místech A,B,C

Příruba byla zatěžována silou $F = 1500$ kp postupně
v místech A,B,C. Velikosti relativních prodloužení v místech
jednotlivých snímačů jsou uvedena v tabulce č.3.

Tab.3 : Relativní prodloužení při zatěžování příruby
v místech A,B,C silou $F = 1500$ kp

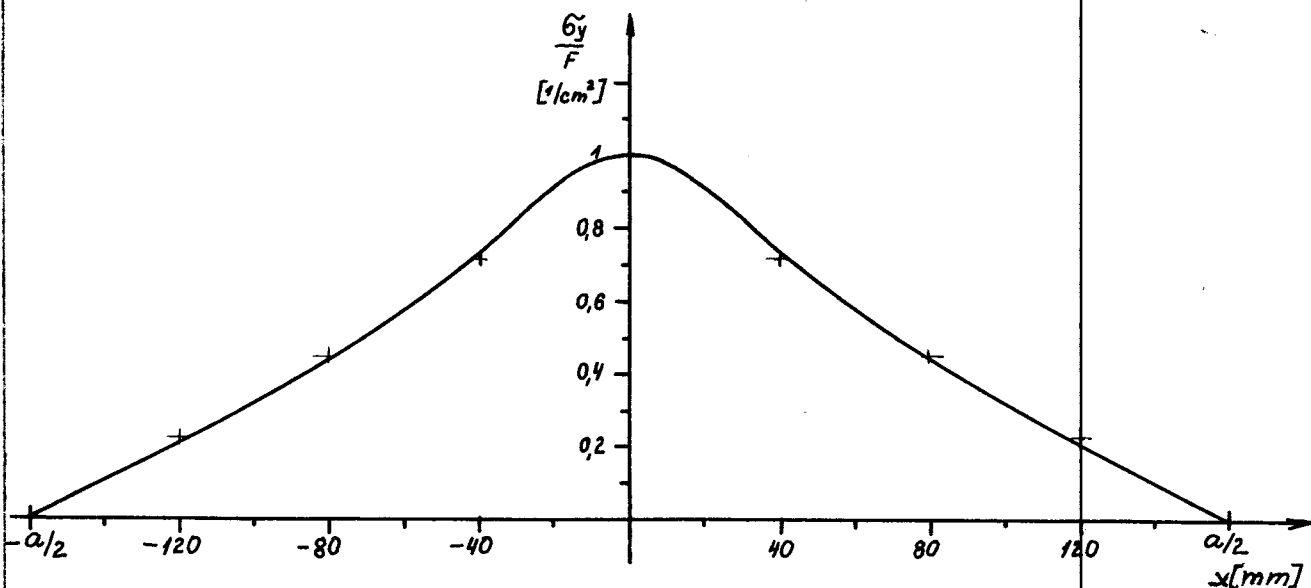
místo		prodloužení $\xi \cdot 10^6$		
		A	B	C
I	1	625	98	112
	2	98	0	0
II	1	455	73	170
	2	300	64	68
	3	53	0	0
III	1	283	50	281
	2	293	61	205
	3	43	12	52
IV	1	163	31	460
	2	220	44	375
	3	35	7	128
V	1	150	53	52
	2	122	10	15
VI	1	30	0	11
	2	100	25	26

Vypočtené hodnoty $\tilde{\epsilon}_I, \tilde{\epsilon}_{II}, \alpha; \tilde{\epsilon}_x, \tilde{\epsilon}_y$ a poměry $\frac{\tilde{\epsilon}}{F}$ jsou
uvedeny v tabulce č.4.

Tab.4 : Vypočtené hodnoty $\tilde{\sigma}_I$, $\tilde{\sigma}_{II}$, α , $\tilde{\sigma}_y$, $\tilde{\sigma}_x$ a poměry $\frac{\tilde{\sigma}_x}{F}$
a $\frac{\tilde{\sigma}_y}{F}$ pro sílu F = 1500 kp

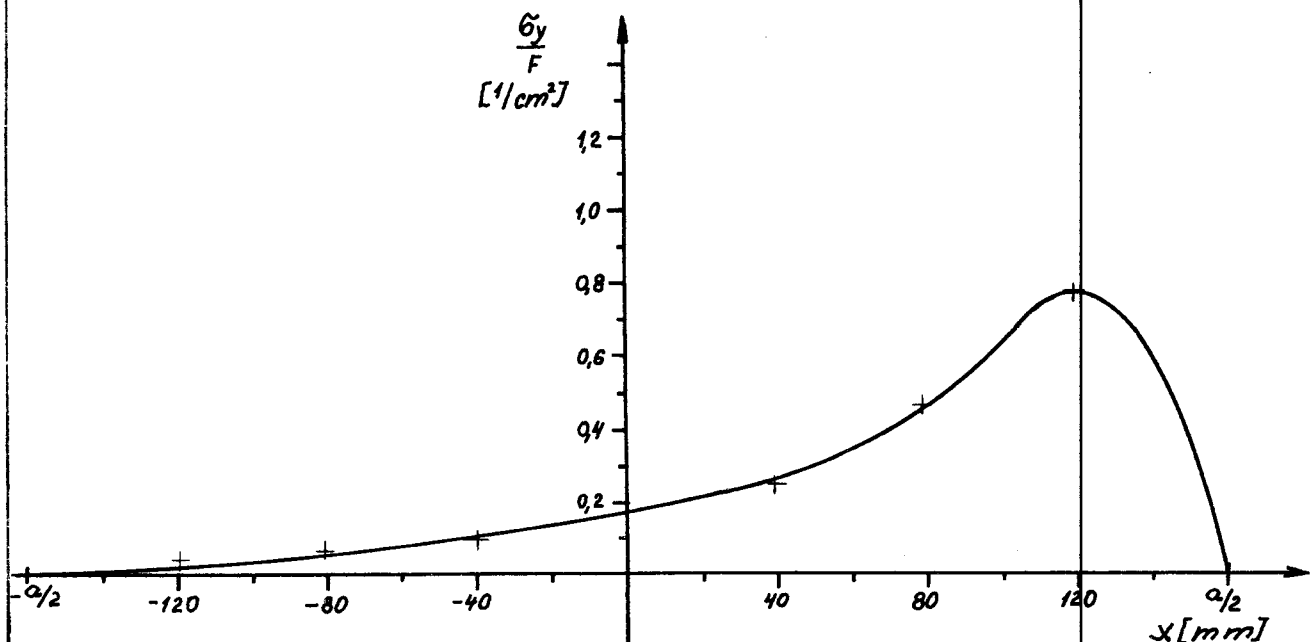
měřené místo	napětí v kp / cm ²					
		$\tilde{\sigma}/F$		$\tilde{\sigma}/F$		$\tilde{\sigma}/F$
I	$\tilde{\sigma}_I$	1 510		226		258
	$\tilde{\sigma}_{II}$	660		68		77,6
	α	0°		0°		0°
	$\tilde{\sigma}_y$	1 510	1,005	226	0,15	258 0,172
	$\tilde{\sigma}_x$	660	0,44	68	0,045	77,6 0,05
II	$\tilde{\sigma}_I$	1 090		180		394
	$\tilde{\sigma}_{II}$	405		330		110
	α	6,5°		19°		-5,5°
	$\tilde{\sigma}_y$	1 080	0,72	168	0,112	390 0,26
	$\tilde{\sigma}_x$	410	0,274	47,5	0,034	115 0,076
III	$\tilde{\sigma}_I$	780		150		700
	$\tilde{\sigma}_{II}$	190		34		300
	α	24°		28,5		10°
	$\tilde{\sigma}_y$	675	0,45	122	0,081	690 0,46
	$\tilde{\sigma}_x$	280	0,187	60	0,04	315 0,21
IV	$\tilde{\sigma}_I$	520		120		1 200
	$\tilde{\sigma}_{II}$	70		6		570
	α	31°		32°		13°
	$\tilde{\sigma}_y$	396	0,254	75	0,05	1 160 0,77
	$\tilde{\sigma}_x$	190	0,127	36	0,024	600 0,4
V	$\tilde{\sigma}_I$	432		129		130
	$\tilde{\sigma}_{II}$	386		59,6		70,6
	α	0°		0°		0°
	$\tilde{\sigma}_y$	432	0,286	129	0,086	130 0,086
	$\tilde{\sigma}_x$	386	0,257	59,6	0,04	70,6 0,047
VI	$\tilde{\sigma}_I$	138		17,3		43,4
	$\tilde{\sigma}_{II}$	252		57,7		67,6
	α	0°		0°		0°
	$\tilde{\sigma}_y$	138	0,092	17,3	0,012	43,4 0,029
	$\tilde{\sigma}_x$	252	0,168	57,7	0,038	67,6 0,045

Průběh napětí $\tilde{\sigma}_y$ na hraně desky $y = b$ při zatěžovací síle $F = 1500$ kp, působící v místě A, je na obr.13.



Obr.13

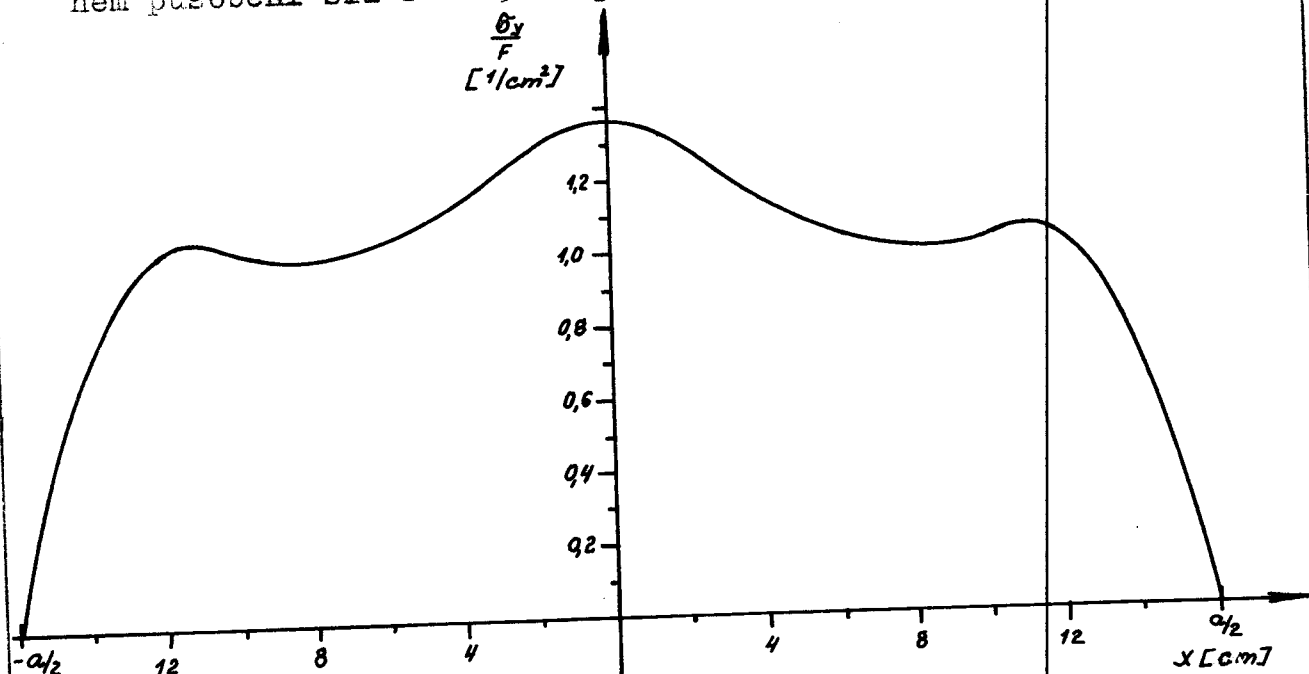
Průběh napětí $\tilde{\sigma}_y$ na hraně stěny $y = b$ při zatěžovací síle $F = 1500$ kp, působící v místě B, je na obr.14.



Obr.14

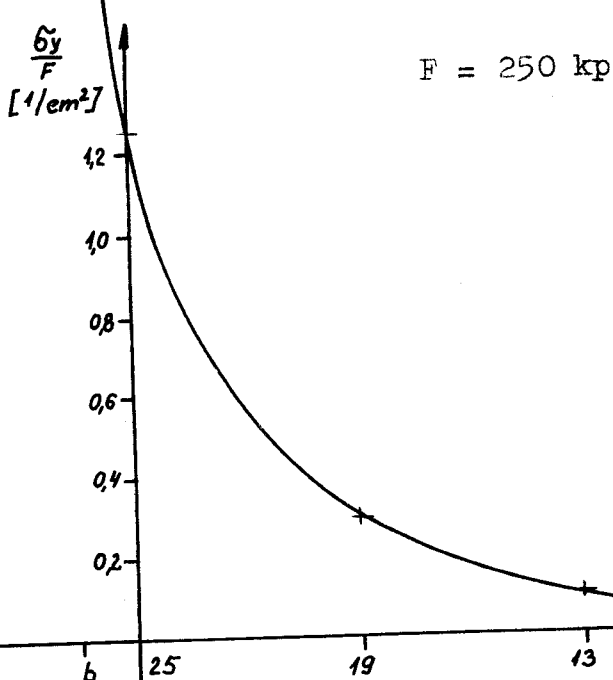
Působí-li síla v místě C, bude průběh napětí $\frac{\sigma_y}{F}$ souměrný podle osy y s průběhem na obr. 14.

Průběh napětí $\frac{\sigma_y}{F}$ na okraji $y = b$ stěny skříně při současném působení sil $F = 1500 \text{ kp}$ v místech A, B, C je na obr. 15.



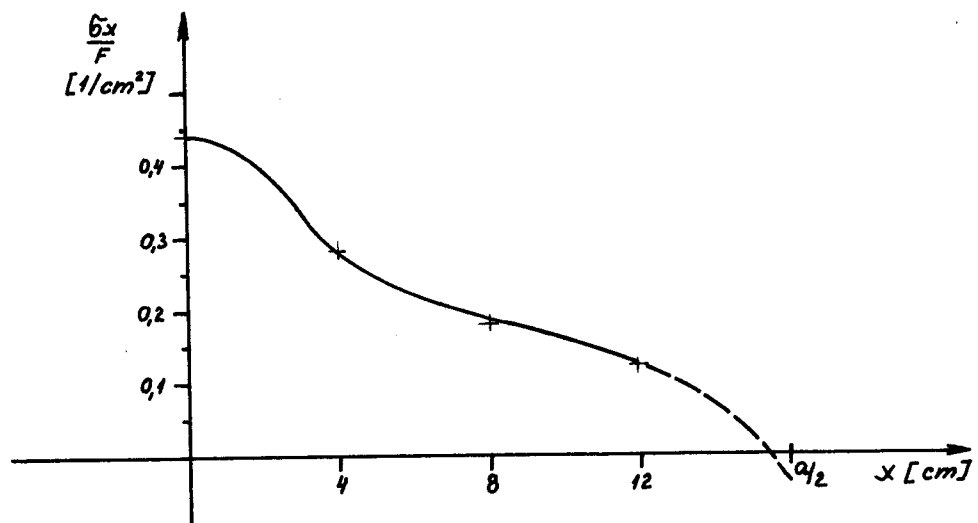
Obr. 15

Závislost napětí $\frac{\sigma_y}{F}$ na souřadnici $y / x = 0$ je znázorněna na obr. 16.



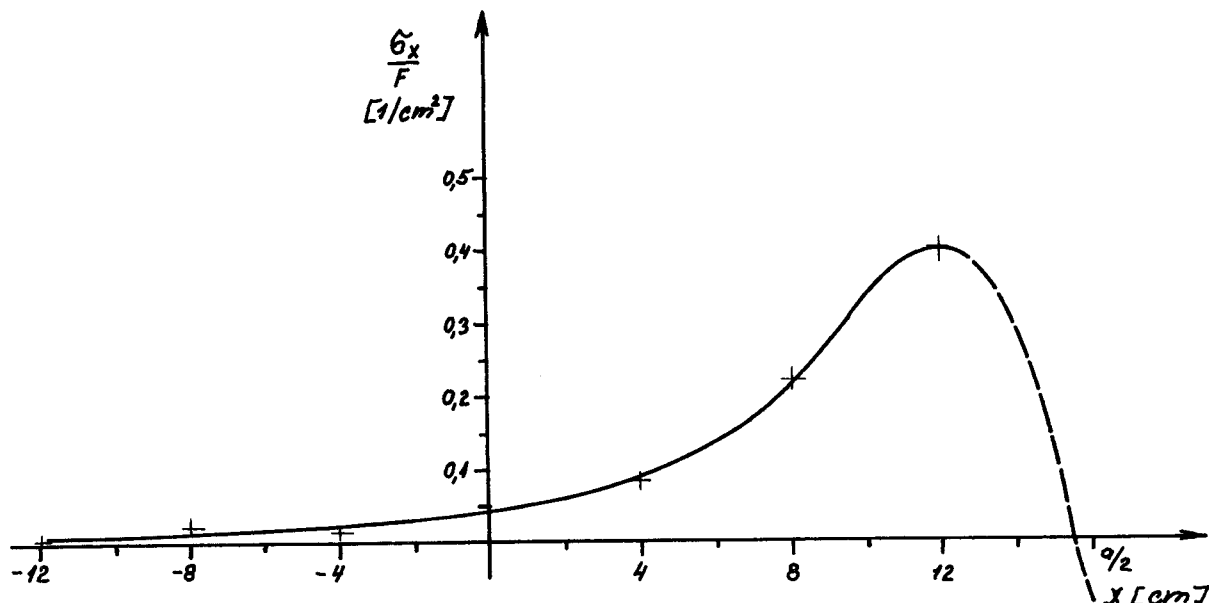
Obr. 16

Průběh napětí σ_x na okraji $y = b$ stěny skříně při zatižení příruby silou $F = 1500$ kp v místě A je graficky znázorněn na obr.17.



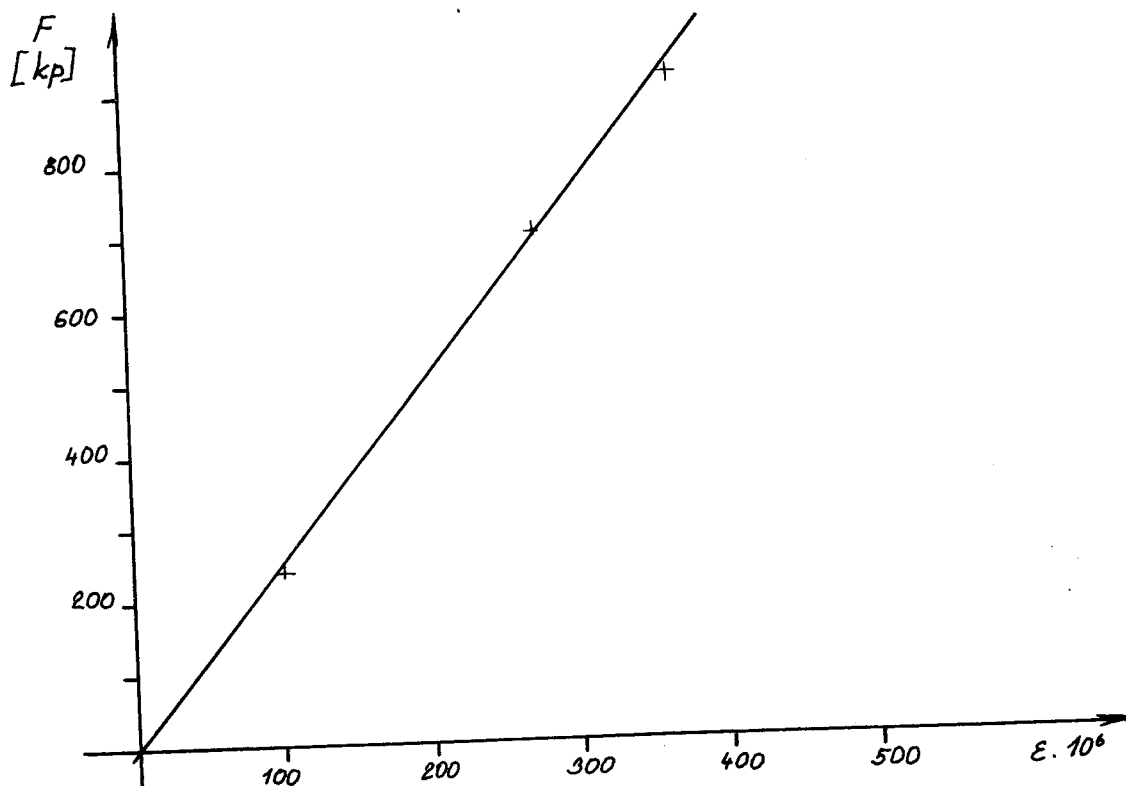
Obr.17

Průběh napětí σ_x na okraji $y = b$ stěny skříně při zatižení příruby silou $F = 1500$ kp v místě B je na obr.18



Obr.18

Cejchovní přímka svorníku č.1



Obr.19

V grafech závislosti $\tilde{\sigma}_x$ na souřednici x / obr.17 a 18 / je část kreslená přerušovanou čarou. Tato není určena žádným z odměřených bodů. Dochází v ní k poměrně prudkým změnám průběhu napětí. Přesný průběh $\tilde{\sigma}_x$ v tomto úseku již nelze změřit, protože je tak malý, že v něm nelze nalepit tensometrickou růžici. Nakreslený průběh je odhadnutý následující úvahou. Povedu-li řez průhybovou plochou rovinou rovnoběžnou s osou x a kolmou na rovinu $x;Y$ ve vzdálenosti $y \ll b$, dostanu čaru, která bude mít dva inflexní body. V nich bude rovno nule. Na veknutých okrajích desky musí tedy mít $\tilde{\sigma}_x$ opačné znaménko než uprostřed. Nemohu ale určit, bude-li mít v těchto místech průběh napětí $\tilde{\sigma}_x$ charakter křivky konvexní, nebo konkávní.

4. Zhodnocení

Při výpočtu byla považována stěna skříně za tenkou desku, větknutou na třech okrajích a na čtvrtém kloubově podeřenou. To nevystihuje přesně skutečnost. Podmínce nulového pootočení na větknutyých okrajích se může ve skutečnosti hodně přiblížit taková část stěny skříně mezi žebry, kdy části nacházející se v těsném sousedství jsou symetrické včetně zatižení s vytknutým úsekem podle roviny vyztužovacího žebra. Toto je případ vyskytující se v běžné praxi velice často. I když tomu ale tak nebude, nevzniknou velké odchylky napětí vypočteného od napětí skutečného.

Tensometrickým měřením zjištěná napětí neodpovídají poměrům na hraně stěny skříně a příruby. Je to způsobeno tím, že snímače, přestože byl zvolen nejmenší typ SM 120, zaujmají určitou plochu. Jsou-li lepeny do tensometrické růžice, bude plocha zaujmána snímači ještě větší. Změřené napětí bude vlastně střední napětí vyskytující se na ploše pod aktivní částí snímače. Bude-li gradient napětí pod snímačem dosahovat vysokých hodnot, může být odchylka napětí změřeného, od skutečného značná.

To se stalo při vyšetřování průběhu napětí podél okraje $y = b$ stěny skříně. Snímače nebylo možno nalepit přímo na hranu. Proto se změřené napětí σ_y značně liší od vypočteného. / obr. 4 a obr. 13 /. Změřený průběh napětí podél osy y / obr. 16/ ukazuje na značnou velikost gradientu napětí σ_y ve směru osy y v okoli okraje $y = b$. Proto může být odchylka změřeného napětí od skutečného napětí σ_y na samém okraji stěny skříně i několik set procent.

Další chyba je způsobena deformací příruby. Při zatižení silou F se příruba deformuje. Tím se změní rozložení tlaku pod matkou a poloha výslednice. Ta při větším zatižení nepůsobí již v ose svorníku jak je ve výpočtu uvažováno, nýbrž na kratším rameni. Čím je větší deformace příruby, tím je kratší rameno na kterém síla F působí. To se projeví zmenšením pomě-

rů $\frac{6y}{F}$, jak ukazuje obr.12.

Dochází k tomuto jevu, přestože jsou pod matkami kulové podložky. Tím, že jsou podložky v relativním klidu, dojde při utahování k vytlačení maziva a vzniku prakticky suchého tření, které dosahuje zřejmě vysokých hodnot. Moment třecí je potom větší, než moment způsobený výstřednosti výslednice. Aby se vliv tření v podložkách omezil na co nejmenší míru, bylo by nutno vyrobit podložky s mnohem menším radiusem, než jakých bylo použito.

Rovněž při cejchování svorníků vznikla chyba. Cejchování bylo totiž provedeno na trhacím stroji, jehož nejmenší rozsah je 10 t. Svorníky byly cejchovány jen do 1500 kp. To je pouze 15 % měřicího rozsahu stroje. Je tedy cejchování zatíženo pravděpodobně velkou relativní chybou.

Vliv šroubů stahujících části, které nepřiléhají ke stěně, v niž byla napjatost vyšetřována, je tak malý, že vzniklá napětí nejsou měřitelná.

Shrnou-li se výsledky výpočtu průběhu napětí na okraji stěny skříně a vezmou-li se při tom v úvahu všechny vlivy i systematické chyby, jimiž bylo měření zatíženo, je možno usoudit, že vypočtený průběh napětí na obr.4, i když je sestrojen pouze ze dvou členů Fourierova rozvoje, zhuba odpovídá skutečnosti.

5. Závěr

Úkolem mé diplomové práce bylo na základě volby okrajových podmínek za zjednodušujících předpokladů provést výpočet napětí v nejnamáhanějších částech stěny skříně a příruby. Potom na základě tensometrického měření na modelu určit přibližnost výpočtu.

Závěrem bych chtěl poděkovat všem, kteří mi byli nápolocni svými cennými radami a připomínkami při řešení mého diplomního úkolu. Zejména panu prof.ing.C.Höschlovi a panu ing.J.Mevaldovi za odborné vedení.

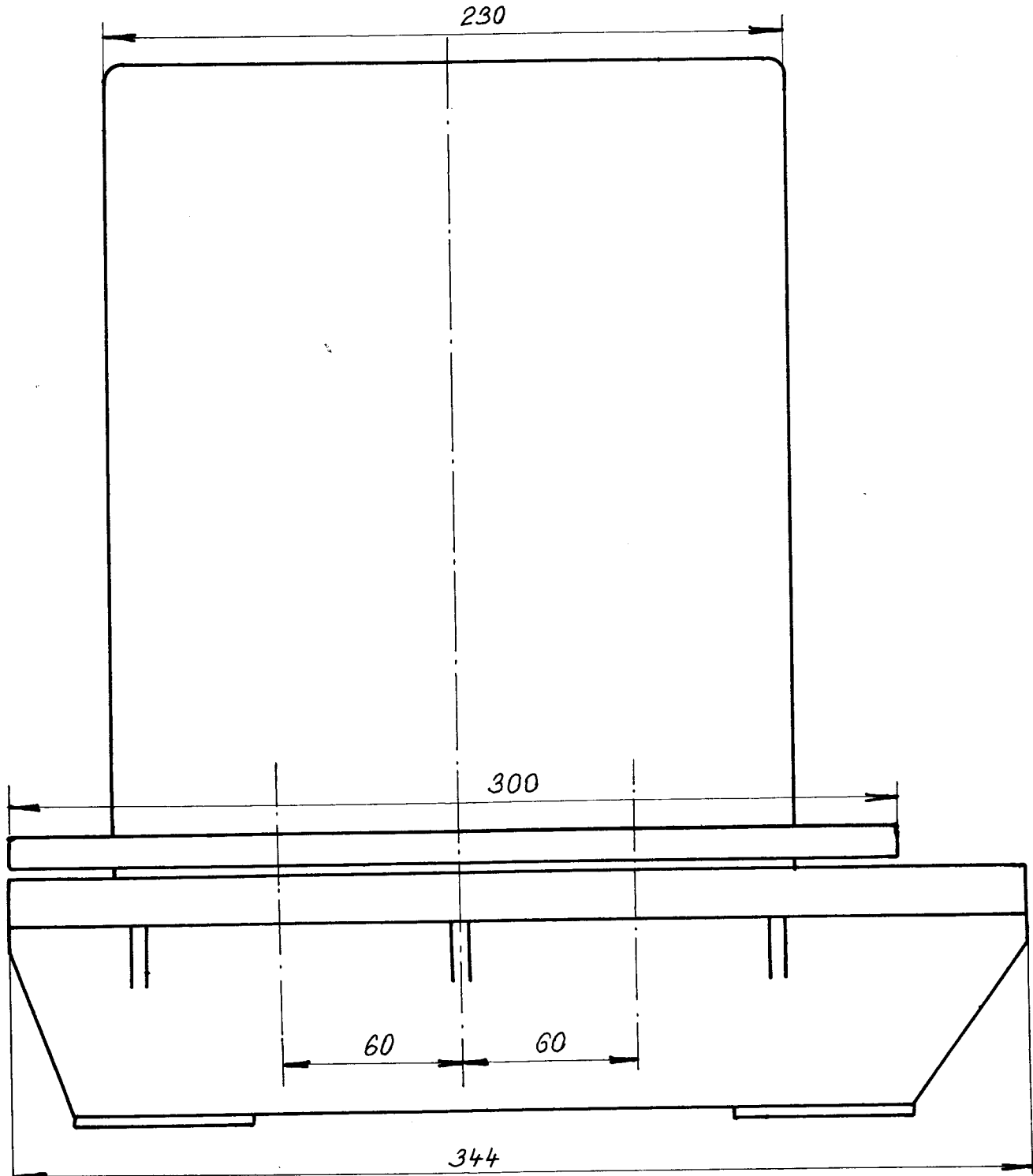
František Ophal

V Liberci dne 17.června 1968

VŠST Liberec	Napjatost příruba vých spoju hranatých skříní a nádob	Katedra KMP
Fakulta strojní		DP 43

Seznam literatury

- 1.Timoshenko,P.S.,Woinowski - Krieger,S.: Plastinki i obolociki.
Moskva:Nauka 1966
- 2.Klaboch,L.:Experimentální metody pružnosti a pevnosti.
Praha:SNTL 1965
- 3.Hetényi,M.:Príručka experimentálnej pružnosti.Bratislava:SVTL 1961
- 4.Rektorys,K.: Přehled užité matematiky.Praha:SNTL 1963
- 5.Romanovskij,P.,I.:Fourierovy řady.Praha:SNTL 1964



PŘ 1. CELKOVÉ ROZMĚRY MODELU M 1:2

